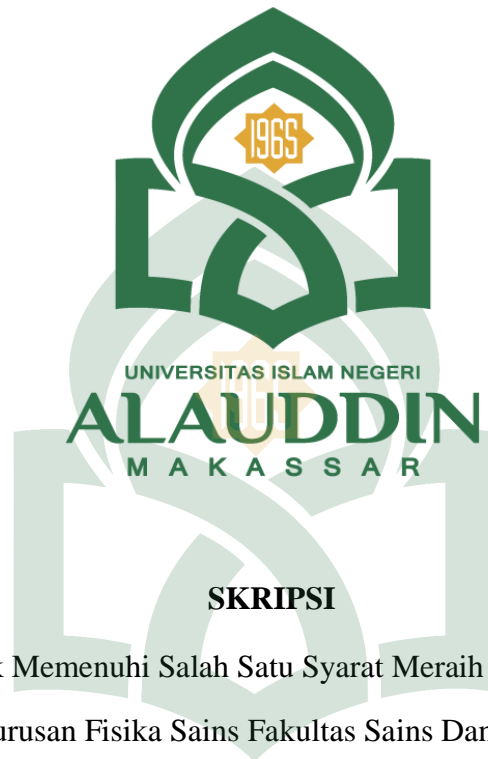


**KARAKTERISTIK MATERIAL PASIR BESI DENGAN  
MENGUNAKAN X-RAY *DIFFRACTION* (XRD) DI PANTAI  
MARINA KABUPATEN BANTAENG**



**SKRIPSI**

Diajukan Untuk Memenuhi Salah Satu Syarat Meraih Gelar Sarjana Sains

Pada Jurusan Fisika Sains Fakultas Sains Dan Teknologi

Universitas Islam Negeri (UIN) Alauddin Makassar

Oleh  
**NURHIDAYAH**

NIM: 60400112015

**FAKULTAS SAINS DAN TEKNOLOGI**

**UIN ALAUDDIN MAKASSAR**

**2016**

## **SURAT PERNYATAAN KEASLIAN SKRIPSI**

Mahasiswa yang bertanda tangan di bawah ini:

Nama : Nurhidayah  
NIM : 60400112015  
Tempat/Tgl.Lahir : Sinjai/06 April 1995  
Jur/Prodi/Konsentrasi : Fisika  
Fakultas/Program : Sains dan Teknologi  
Judul : Karakteristik Material Pasir Besi dengan  
Menggunakan *X- Ray Diffraction (XRD)* di Pantai  
Marina Kabupaten Bantaeng.

Menyatakan dengan sesungguhnya dan penuh kesadaran bahwa skripsi ini benar adalah karya sendiri. Jika dikemudian hari terbukti bahwa skripsi ini merupakan duplikat, tiruan, plagiat, atau dibuat oleh orang lain, sebagian atau seluruhnya, maka skripsi dan gelar yang diperoleh karenanya batal demi hukum.

UNIVERSITAS ISLAM NEGERI  
**ALAUDDIN**  
M A K A S S A R

Makassar, 25 Juli 2016

Penyusun,

NURHIDAYAH

NIM: 60400112015

## PENGESAHAN SKRIPSI

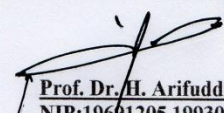
Skripsi yang berjudul, "**Karakteristik Material Pasir Besi dengan Menggunakan X-Ray Diffraction (XRD) di Pantai Marina Kabupaten Bantaeng**", yang disusun oleh Nurhidayah, NIM: 60400112015, mahasiswa Jurusan Fisika pada Fakultas Sains dan Teknologi UIN Alauddin Makassar, telah diuji dan dipertahankan dalam sidang munaqasyah yang diselenggarakan pada hari selasa, tanggal 30 Agustus 2016 M, bertepatan dengan 27 Dzulkaidah 1437 H, dinyatakan telah dapat diterima sebagai salah satu syarat untuk memperoleh gelar Sarjana dalam ilmu Sains dan Teknologi, Jurusan Fisika (dengan beberapa perbaikan).

Makassar, 30 Agustus 2016 M.  
27 Dzulkaidah 1437 H.

### DEWAN PENGUJI

Ketua : Prof. Dr. H. Arifuddin, M.Ag. (  )  
Sekretaris : Ihsan, S.Pd., M.Si. (  )  
Munaqisy I : Sahara, S.Si., M.Sc., Ph.D (  )  
Munaqisy II : Kurniati Abidin, S.Si., M.Si. (  )  
Munaqisy III : Dr. M. Thahir Maloko, M.Hi. (  )  
Pembimbing I : Rahmaniah, S.Si., M.Si. (  )  
Pembimbing II : Muh. Said L., S.Si., M.Pd. (  )

Diketahui oleh:  
Dekan Fakultas Sains dan Teknologi  
UIN Alauddin Makassar, &

  
Prof. Dr. H. Arifuddin, M.Ag.  
NIP:19691205 199303 1 001

## KATA PENGANTAR

Puji dan syukur penulis panjatkan kehadirat Allah swt. atas cinta kasihnya yang selalu tercurah pada kita semua, atas rahmatNya sehingga kita masih bisa menapaki setiap episode hidup yang telah ditetapkanNya. Shalawat dan salam senantiasa kita panjatkan kepada kekasih Allah swt. baginda Muhammad saw. Manusia paling sempurna yang telah menanamkan cinta di hati kita semua, manusia yang membuat kita menangis ketika membaca kisahnya. Manusia yang datang kepadaku dan kepada kita semua dengan senyum yang paling sempurna.

Alhamdulillah berkat petunjuk dan kemudahannya penulis akhirnya dapat menyelesaikan tugas akhir ini dengan judul **“Karakteristik Materila Pasir Besi dengan Menggunakan *X-Ray Diffraction* (XRD)”** sebagai salah satu syarat untuk meraih gelar sarjana sains Jurusan Fisika Fakultas Sains dan Teknologi Universitas Islam Negeri (UIN) Alauddin Makassar.

Penyusunan tugas akhir (skripsi) ini tidak lepas dari dukungan dan bantuan yang datang dari berbagai pihak yang sudah pasti sangat berarti, untuk itu dengan segala kerendahan hati saya mengucapkan terimakasih kepada:

1. Ayahanda dan ibunda tercinta **Abd. Asis dan Hartati S.Pd.**, atas kasih sayang, yang selalu tercurah kepada saya, atas dukungan dan motivasinya, atas keikhlasan dalam mengasuh, mendidik, dan membiayai saya, atas do'a yang selalu dipanjatkan agar katanya aku menjadi lebih baik dari dirinya dan semua kekhawatiran disetiap langkah saya.

2. **Prof. Dr. H. Musafir Pababbari, M.Si.**, selaku Rektor Universitas Islam Negeri Alauddin Makassar.
3. **Prof. Dr. H. Arifuddin, M.Ag.**, selaku Dekan Fakultas Sains dan Teknologi Universitas Islam Negeri Alauddin Makassar beserta seluruh staf yang telah memberikan pelayanan yang baik selama ini.
4. **Sahara, S.Si, M.Sc, Ph.D.**, selaku Ketua Jurusan Fisika yang selalu memberikan motivasi, bimbingan dan ilmu pengetahuan kepada penulis.
5. **Rahmaniah, S.Si, M.Si.**, dan **Muh. Said. L, S.Si, M.Pd.**, selaku pembimbing pertama dan kedua penulis, yang dengan penuh kesabaran dan keikhlasan membimbing dan memotivasi penulis di tengah-tengah kesibukannya hingga penyusunan skripsi ini selesai.
6. **Sahara, S.Si, M.Sc, Ph.D.**, **Kurniati Abidin, S.Si, M.Si.**, dan **Dr. Thahir Maloko, M.Hi.**, selaku penguji satu, dua dan tiga penulis, yang selalu memberikan bimbingan dan ilmunya untuk penulis.
7. **Ahmad Yani S.Si., Muhtar, S.T., Abdul mun'im thariq, S.T.**, selaku Laboran Jurusan Fisika untuk bantuan dan bimbingannya.
8. Kakak tercinta yang saat ini juga tengah menyusun tugas akhirnya **Nurwahidah**, yang telah mengajarku bermimpi dan bekerja keras, terima kasih untuk dukungan, semangat, cinta dan kebersamaan dengan keluarga yang selama ini diberikan.
9. Sepupu tersayang **Muh. Ali**, yang senantiasa memberi motivasi serta mengajarkan kedewasaan kepada penulis.

10. Sahabat terbaik **Mirnawati**, atas semangat, kebaikan, keceriaan dan kebersamaannya selama tiga tahun bersama penulis.
11. Spesial tim pasir besi penulis, **Nurhidayat, Susilas Tuti, Indah Permatasari** dan **Juharni**, atas semangat dan kerja samanya.
12. Teman terbaik dan seperjunganku **Husnul Khatimah, Nurhidayat, Indah Permata sari, Susilastuti, Hijrah Mustajabah Sayidah, Arni Darwati, Miftahul Janah, Muh. Akbar, Kaharuddin** dan **M. Arif Rahman**, atas kebersamaannya, semangat, kebaikan, bantuan dan keceriaan yang mewarnai perjalanan kita selama ini.
13. Teman-teman fisika angkatan 2012 atas kebersamaan yang telah terukir selama 4 tahun.
14. Keluarga besar **Himpunan Mahasiswa Fisika (HMJ-Fisika)** atas kebersamaan dan motivasi yang tiada henti kepada penulis dalam menyelesaikan skripsi ini.
15. Segenap kawan-kawan dan seluruh pihak yang tidak dapat penulis sebutkan satu persatu, yang telah turut membantu memberikan do'a, dukungan dan motivasi kepada penulis dalam penyelesaian skripsi ini.

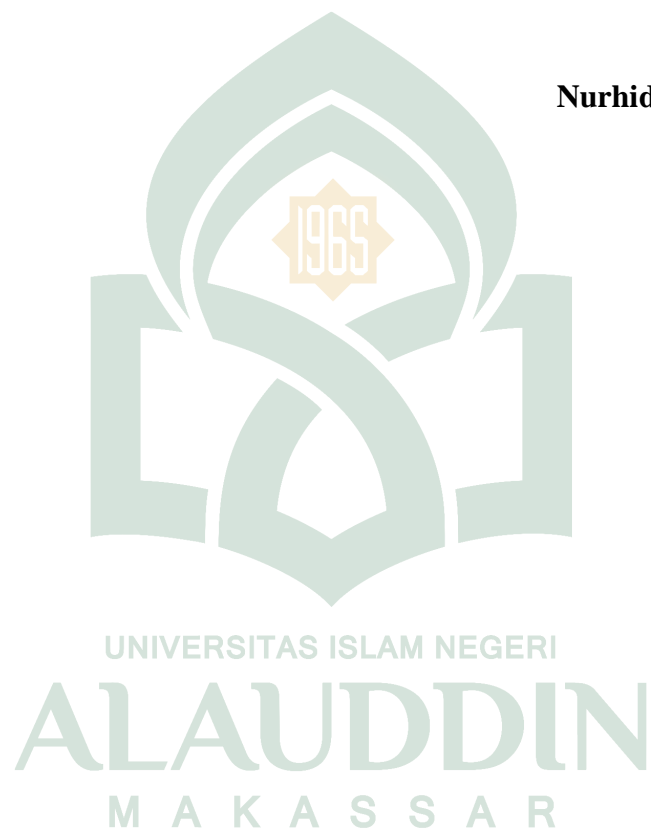
Akhir kata penulis hanya dapat berdoa semoga mereka mendapat balasan kebaikan yang berlipat ganda dari Allah swt. Penulis berharap semoga karya sederhana ini dapat memberi manfaat bagi kita semua. Dan penulis juga mengakui bahwa dalam penyusunan tugas akhir (skripsi) ini masih banyak terdapat kekurangan, olehnya itu untuk menjadikan tulisan ini lebih baik, menulis sangat mengharapkan kritik dan saran yang

membangun dari pembaca. Semoga apapun yang kita lakukan selama ini diridhai oleh Allah swt. Amin.

Samata, 36 Juli 2016

Penyusun,

**Nurhidayah**



## DAFTAR ISI

|  |        |
|--|--------|
| JUDUL.....                                     | i      |
| PERNYATAAN KEASLIAN SKRIPSI .....              | ii     |
| KATA PENGANTAR.....                            | iii    |
| DAFTAR ISI.....                                | iv     |
| DAFTAR TABEL.....                              | v      |
| DAFTAR GAMBAR.....                             | vi     |
| DAFTAR GRAFIK.....                             | vii    |
| DAFTAR SIMBOL.....                             | viii   |
| DAFTAR LAMPIRAN.....                           | ix     |
| ABSTRAK.....                                   | x      |
| BAB I PENDAHULUAN.....                         | (1-5)  |
| 1.1. Latar Belakang.....                       | 1      |
| 1.2. Rumusan Masalah.....                      | 3      |
| 1.3. Tujuan Penelitian.....                    | 3      |
| 1.4. Ruang Lingkup Penelitian.....             | 4      |
| 1.5. Manfaat Penelitian.....                   | 4      |
| BAB II KAJIAN PUSTAKA .....                    | (6-28) |
| 2.1. Besi dan Pasir Besi.....                  | 6      |
| 2.2. Bentuk Bijih Besi.....                    | 10     |
| 2.3. Macam-Macam Bijih Besi.....               | 11     |
| 2.4. Karakteristik dari Setiap Bijih Besi..... | 11     |
| 2.5. Komposisi Kimia Pasir Besi.....           | 13     |
| 2.6. Ekstraksi Pasir Besi.....                 | 13     |
| 2.7. Difraksi Sinar-X.....                     | 14     |
| 2.8. Struktur Kristal.....                     | 19     |
| 2.9. Parameter Kisi.....                       | 26     |

|                                       |         |
|---------------------------------------|---------|
| BAB III METODE PENELITIAN.....        | (29-37) |
| 3.1. Waktu dan Tempat Penelitian..... | 29      |
| 3.2. Alat dan Bahan.....              | 30      |
| 3.3. Prosedur Penelitian.....         | 30      |
| 3.4. Teknik Analisis Data.....        | 28      |
| 3.5. Diagram Alir Penelitian.....     | 36      |
| 3.6. Jadwal Kegiatan Penelitian.....  | 37      |
| BAB IV HASIL DAN PEMBAHASAN.....      | (38-49) |
| 4.1. Hasil Penelitian.....            | 38      |
| 4.2. Pembahasan.....                  | 42      |
| BAB V PENUTUP.....                    | (50-51) |
| 5.1. Kesimpulan.....                  | 50      |
| 5.2. Saran.....                       | 51      |
| DAFTAR PUSTAKA.....                   | 52      |
| RIWAYAT HIDUP                         |         |
| LAMPIRAN - LAMPIRAN                   |         |

## DAFTAR TABEL

| <b>Tabel</b> | <b>Keterangan</b>  | <b>Hal</b> |
|--------------|--|------------|
| 2.1          | Komposisi kimia pasir besi.....                                  | 13         |
| 2.2          | Tujuh sistem kristal.....  | 20         |
| 3.1          | Karakteristik material pasir besi dengan menggunakan XRD.....    | 33         |
| 3.2          | Jadwal kegiatan pelaksanaan penelitian.....                      | 37         |
| 4.1          | Hasil karakteristik material pasir besi dengan menggunakan XRD.. | 41         |

## DAFTAR GAMBAR

| Gambar | Keterangan   | Hal |
|--------|--|-----|
| 2.1    | Peristiwa difraksi pada kristal.....   | 15  |
| 2.2    | Shimadzu XRD type 7000.....  | 16  |
| 2.3    | Prinsip kerja <i>X-Ray Diffraction (XRD)</i> .....   | 17  |
| 2.4    | Grafik contoh analisis sampel dari uji XRD.....  | 18  |
| 2.5    | Sumbu-sumbu dan sudut-sudut antar sumbu kristal.....   | 19  |
| 2.6    | Sistem kubik.....  | 21  |
| 2.7    | Sistem monoklinik.....   | 22  |
| 2.8    | Sistem triklinik.....  | 22  |
| 2.9    | Sistem tetragonal.....   | 23  |
| 2.10   | Sistem orthorombik.....  | 23  |
| 2.11   | Sistem rhombohedral.....   | 24  |
| 2.12   | Sistem hexagonal.....  | 25  |
| 2.13   | Kisi dan basis pembentuk struktur krista.....  | 27  |
| 2.14   | Sebuah sel satuan dengan sumbu koordinat x, y, z<br>menunjukkan panjang (a, b, dan c) dan sudut ( $\alpha, \beta, \gamma$ )..... | 27  |
| 3.1    | Peta lokasi penelitian.....  | 29  |
| 4.1    | Peta titik pengambilan sampel penelitian.....  | 39  |

## DAFTAR GRAFIK

| <b>Grafik</b> | <b>Keterangan</b>   | <b>Hal</b> |
|---------------|---|------------|
| 4.1           | Hubungan intensitas dan $2\theta$ pada karakteristik sampel pasir besi di bagian permukaan (A1).....    | 42         |
| 4.2           | Hubungan intensitas dan $2\theta$ pada karakteristik sampel pasir besi di kedalaman 1,5 meter (B1)..... | 44         |
| 4.3           | Hubungan intensitas dan $2\theta$ pada karakteristik sampel pasir besi di kedalaman 3 meter (C1).....   | 46         |
| 4.4           | Hubungan intensitas dan $2\theta$ pada karakteristik sampel pasir besi di bagian permukaan (A2).....    | 46         |
| 4.5           | Hubungan intensitas dan $2\theta$ pada karakteristik sampel pasir besi di kedalaman 1,5 meter (B2)..... | 48         |
| 4.6           | Hubungan intensitas dan $2\theta$ pada karakteristik sampel pasir besi di kedalaman 3 meter (C2).....   | 49         |

## DAFTAR SIMBOL

| Gambar     | Keterangan  | Hal |
|------------|---|-----|
| $hkl$      | Bidang kristal.....   | 15  |
| $d$        | Jarak antara dua bidang kisi.....                               | 15  |
| $\theta$   | Sudut sinar datang dengan bidang normal.....                    | 16  |
| $n$        | Bilangan bulat yang disebut sebagai orde pembiasan.....         | 16  |
| $I$        | Intensitas dalam satuan cacah per sekon (cps).....              | 18  |
| $D$        | Ukuran rata-rata kristal (parameter kisi) ( $\text{\AA}$ )..... | 28  |
| $k$        | Konstanta Scherrer (0,9).....                                   | 28  |
| $\lambda$  | Panjang gelombang Sinar-X ( $\text{\AA}$ ).....                 | 28  |
| $\theta_B$ | Sudut difraksi ( $^\circ$ ).....                                | 28  |
| $B$ (FWHM) | Lebar setengah puncak maksimum ( $^\circ$ ).....                | 28  |

## DAFTAR LAMPIRAN

| <b>Gambar</b> | <b>Keterangan</b>                                   |
|---------------|---|
| <b>Hal</b>    |   |
| 1             | Pengolahan Data..... L.1                            |
| 2             | Analisis Data..... L.6                              |
| 3             | Dokumentasi Pengambilan Sampel di Lapangan..... L.8 |
| 4             | Dokumentasi Preparasi Sampel..... L.10              |
| 5             | Dokumentasi Analisis Sampel dengan XRD..... L.11    |

## ABSTRAK

Nama : Nurhidayah  
NIM : 60400112015  
Judul : Karakteristik Material Pasir Besi dengan Menggunakan *X-Ray Diffraction (XRD)* di Pantai Marina Kabupaten Bantaeng.

---

Penelitian ini bertujuan untuk mengetahui karakteristik material pasir besi dengan menggunakan *X-Ray Diffraction (XRD)*. Hasil penelitian diperoleh karakteristik dari setiap material pasir besi yaitu pada titik pertama bagian permukaan ditemukan adanya pasir besi yaitu *Magnetite* ( $\text{Fe}_3\text{O}_4$ ) sebanyak 16,3 % (struktur kristal *Cubic*) dan parameter kisi sebesar 57,484 nm serta densitas sebesar  $5,214 \text{ gr/cm}^3$ , pada kedalaman 1,5 meter tidak ditemukan adanya pasir besi, namun masih ditemukan kandungan Fe yaitu *Chayesite* ( $\text{Fe}_2\text{K}_2\text{Mg}_3\text{O}_{30}\text{Si}_{12}$ ) sebanyak 34,6% (struktur kristal *hexagonal*) dan parameter kisi sebesar 55,946 nm serta densitas sebesar  $2,797 \text{ gr/cm}^3$ . Selanjutnya pada kedalaman 3 meter ditemukan jenis pasir besi dengan unsur yang sama pada sampel di bagian permukaan yaitu *Magnetite* ( $\text{Fe}_3\text{O}_4$ ) sebanyak 27,5 % (struktur kristal *cubic*) dan parameter kisi sebesar 56,059 nm serta densitas sebesar  $5,230 \text{ gr/cm}^3$ . Kemudian untuk titik pengambilan sampel kedua, pada bagian permukaan tidak ditemukan adanya pasir besi namun masih terdapat unsur Fe pada mineral *Sodium tetrairon pentamolybdate* ( $\text{Fe}_4\text{Mo}_5\text{NaO}_{20}$ ) sebanyak 13,1 % (struktur kristal *triclinic*) dan parameter kisi sebesar 44,962 nm serta densitas sebesar  $4,089 \text{ gr/cm}^3$ . Selanjutnya pada kedalaman 1,5 dan 3 meter diperoleh kandungan pasir besi dan struktur kristal yang sama yaitu *Hematite* ( $\text{Fe}_2\text{O}_3$ ) sebanyak 8,0 %, (struktur kristal *rhombohedral*) dan parameter kisi sebesar 123,23 nm serta densitas sebesar  $5,266 \text{ gr/cm}^3$ . Sedangkan pada kedalaman 3 meter mineral pasir besi diperoleh *Hematite* ( $\text{Fe}_2\text{O}_3$ ) sebanyak 1,8 % (struktur kristal *rhombohedral*) serta parameter kisi sebesar 37,409 nm serta densitas sebesar  $5,266 \text{ gr/cm}^3$ .

*Kata Kunci: Pasir Besi, XRD, Parameter Kisi, Struktur Kristal, Magnetite, Hematite.*

## ABSTRACT

Name : Nurhidayah

ID Number : 60400112015

The Title : Karakteristik Material Pasir Besi dengan Menggunakan *X-Ray Diffraction (XRD)* di Pantai Marina Kabupaten Bantaeng.

---

The objective of this research is finding out the characteristics of the iron sand material by using *X-Ray Diffraction (XRD)*. The result of research obtained the characteristics of each materials of iron sand that are the first point is in the surface found iron sand namely *Magnetite* ( $\text{Fe}_3\text{O}_4$ ) as much as 16.3% (cubic crystal structure) and the lattice parameters is 57,484 nm as well as the density 5,214  $\text{gr/cm}^3$ . At a depth of 1.5 meters did not find iron sand, but there was still elements of Fe namely *Chayesite* ( $\text{Fe}_2\text{K}_2\text{MG}_3\text{O}_{30}\text{Si}_{12}$ ) as much as 34.6% (hexagonal crystal structure) and the lattice parameter is 55,946 nm as well as the density 2,797  $\text{gr/cm}^3$ . Further at a depth of 3 meters found the type iron sand with the elements as same as in the first sample in the surface namely *Magnetite* ( $\text{Fe}_3\text{O}_4$ ) as much as 27.5 % (cubic crystal structure) and the lattice parameter of 56,059 nm as well as the density 5,230  $\text{gr/cm}^3$ . sThen in the second sampling that on the surface did not find sand but there was still elements of Fe the material *Sodium tetrairon pentamolybdate* ( $\text{Fe}_4\text{Mo}_5\text{NaO}_{20}$ ) as much as 13.1% (triclinic crystal structure) and the lattice parameter is 44,962 nm as well as the density 4,089  $\text{gr/cm}^3$ . further at a depth of 1.5 and 3 meters acquired content of iron sand and the same crystal structure namely *Hematite* ( $\text{Fe}_2\text{O}_3$ ) as much as 8.0% (rhombohedral crystal structure) and the lattice parameters is 123,23 nm as well as the density 5,266  $\text{gr/cm}^3$ . whereas on the depth 3 meters there was found iron sand the material type *Hematite* ( $\text{Fe}_2\text{O}_3$ ) as much as 1.8% (rhombohedral crystal structure) and the lattice parameter is 37,409 nm as well as the density 5,266  $\text{gr/cm}^3$ .

*Key words: Iron Sand, XRD, Lattice Parameters, Crystal Structure, Magnetite, Hematite.*

## BAB I

### PENDAHULUAN

#### 1.1 Latar Belakang

Kabupaten Bantaeng merupakan salah satu kabupaten yang ada di Provinsi Sulawesi Selatan. Secara geografis kabupaten Bantaeng terletak diantara  $05^{\circ} 21' 15''$  LS sampai  $05^{\circ} 34' 3''$  LS dan  $119^{\circ} 51' 07''$  BT sampai  $120^{\circ} 51' 07''$  BT, dengan luas wilayah  $395,83 \text{ km}^2$  atau  $39.583 \text{ Ha}$  yang dirinci berdasarkan lahan sawah mencapai  $7.253 \text{ Ha}$  (18,32%) dan lahan kering mencapai  $32.330 \text{ Ha}$ , dengan jumlah penduduk mencapai 170.057 jiwa (BPS Bantaeng, 2013: 13).

Kabupaten yang terletak sekitar 120 km dari arah selatan kota Makassar ini merupakan kabupaten yang berkembang secara utuh menjadi sebuah kota pantai karena terletak di daerah pantai yang memanjang pada bagian barat dan timur yaitu sepanjang 21,5 km. Selain banyak didominasi oleh daerah pantai, kabupaten ini juga didominasi oleh sumber daya mineral dan bahan galian bangunan yang terdiri dari 8 bahan galian yaitu batu apung (*pumice*), andesit, tufa, lempung, skoria, batu pasir, sirtu dan pasir besi (BPS Bantaeng, 2013: 13).

Di Indonesia pasir besi banyak ditemukan di wilayah pantai seperti pesisir selatan Lampung Barat, pantai Sunur kota Pariaman, pesisir selatan Pandeglang-

Banten dan sepanjang pesisir Jawa Tengah. Walaupun saat ini penggunaan pasir besi masih sangat terbatas dan belum dimanfaatkan secara optimal serta lebih banyak di ekspor dalam bentuk bahan mentah (*raw material*), namun harus diketahui bahwa pasir besi memiliki manfaat yang luar biasa dan dapat diolah sebagai sumber material magnetik yang banyak digunakan dalam berbagai bidang seperti elektronika, energi, kimia, ferrofluida, katalis, dan diagnosa medik (Kartika, 2010: 7).

Pasir besi merupakan sejenis pasir dengan konsentrasi besi yang signifikan. Hal ini biasanya berwarna abu-abu gelap atau berwarna hitam. Pasir ini terdiri dari magnetit ( $\text{Fe}_3\text{O}_4$ ) dan juga mengandung sejumlah kecil titanium, silika, mangan, kalsium dan vanadium.

Berdasarkan hasil observasi yang telah dilakukan sebelumnya, secara fisik pasir besi yang ditemukan di Kabupaten Bantaeng didominasi oleh warna hitam pekat dan mengkilat. Hal ini disebabkan karena sebagian besar pasir besi yang ada di daerah tersebut, berasal dari basal gunung berapi dan obsidian. Pasir tersebut berwarna hitam dengan struktur lapisan warna yang heterogen, yaitu lapisan atas memiliki warna hitam pekat dan lapisan bawah memiliki warna abu-abu.

Penelitian mengenai pasir besi sebelumnya telah dilakukan di Kabupaten Jeneponto pada tahun 2008, oleh Kelompok Program Penelitian Mineral (Moe'tamar, 2008: 1). Pada penelitian tersebut hanya terbatas pada eksplorasi pasir besi saja dan tidak dilakukan penelitian lanjutan seperti yang akan dilakukan di Kabupaten Bantaeng tepatnya di Pantai Marina.

Berbagai aplikasi mengenai pasir besi saat ini masih terus dilakukan oleh kalangan peneliti di seluruh dunia dengan produk dan metode yang berbeda-beda, sehingga memiliki ukuran dalam nanometer (Kartika, 2014: 33). Salah satu metode yang dapat digunakan untuk mengetahui mikrostruktur dan parameter kisi dari pasir besi adalah dengan menggunakan *X-ray Diffraction* (XRD), yang merupakan salah satu metoda karakterisasi material yang sering diaplikasikan dan sering digunakan hingga sekarang. Teknik ini digunakan untuk mengidentifikasi fasa kristalin dalam material dengan cara menentukan parameter struktur kisi serta untuk mendapatkan ukuran partikel (Ratnasari, dkk., 2009: 3)

Dari uraian di atas hal yang melatar belakangi penelitian ini adalah untuk mengetahui karakteristik material pasir besi dengan menggunakan *X-Ray Diffraction* (XRD).

## **1.2 Rumusan Masalah**

Berdasarkan latar belakang tersebut, maka rumusan masalah yang diangkat pada penelitian ini adalah bagaimana karakteristik material pasir besi dengan menggunakan *X-Ray Diffraction* (XRD) ?

## **1.3 Tujuan**

Berdasarkan rumusan masalah di atas, maka tujuan yang dicapai pada penelitian ini adalah untuk mengetahui karakteristik material pasir besi dengan menggunakan *X-Ray Diffraction* (XRD).

## 1.4 Ruang Lingkup Penelitian

Ruang lingkup yang akan dilakukan adalah sebagai berikut:

1. Teknik pengambilan sampel akan dilakukan dengan metode sumur uji (*Test Pit*) pada dua titik penelitian dengan kedalaman yang berbeda-beda yaitu bagian permukaan dan kedalaman 1,5 meter hingga 3 meter. Dimana setiap titik terdiri dari 3 sampel, yaitu sampel A yang berada dibagian permukaan dan sampel B yang berada pada kedalaman 1,5 meter serta sampel C berada pada kedalaman 3 meter.
2. Sampel material yang diteliti dan diuji karakteristiknya adalah pasir besi.
3. Pengujian karakteristik material pasir besi dengan menggunakan alat *X-Ray Diffraction (XRD)*, variabel yang harus kontrol (ditetapkan) adalah meliputi panjang gelombang sinar-X ( $\text{\AA}$ ), orde pembiasan ( $n$ ) dan sudut sinar datang dengan bidang normal ( $2\theta$ ).
4. Yang dimaksud karakteristik material pasir besi dengan menggunakan *X-Ray Diffraction (XRD)* dalam penelitian ini adalah struktur (bentuk) kristal dari material pasir besi, kandungan mineral dan persentasenya serta densitas dari material.

## 1.5 Manfaat Penelitian

Berikut manfaat dari penelitian ini adalah sebagai berikut:

### 1.5.1 Manfaat Untuk Masyarakat

Manfaat uji karakteristik material pasir besi untuk masyarakat yaitu dapat meningkatkan taraf ekonomi berupa adanya kegiatan perusahaan mempekerjakan

penduduk sekitar atau memberikan kesempatan berusaha yang terkait dengan kegiatan perusahaan tambang, misalnya transportasi, warung makan, tempat penginapan dan lain sebagainya.

### **1.5.2 Manfaat di Bidang Industri**

Manfaat eksplorasi pasir besi di bidang industri yaitu dapat memberikan keuntungan besar bagi pihak industri, karena pengolahan biji besi dapat menunjang pemenuhan kebutuhan besi baja nasional yang belum dapat dipenuhi dan di produksi dalam negeri, sehingga akan mengurangi ketergantungan import bahan baku baja.

### **1.5.3 Manfaat Untuk Mahasiswa**

Manfaat uji karakteristik material pasir besi untuk mahasiswa yaitu mahasiswa dapat mengetahui struktur kristal dan parameter kisi pada material pasir besi yang ada di Pantai Marina Kabupaten Bantaeng. Selain itu, mahasiswa juga mengetahui cara penggunaan alat XRD.

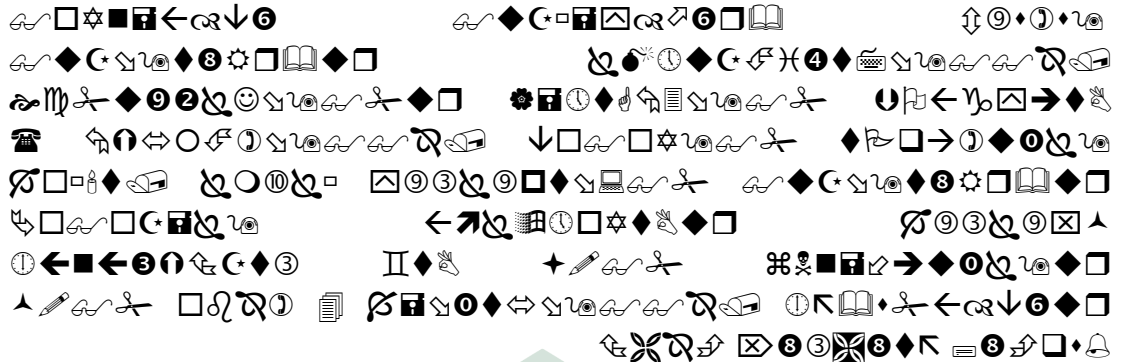
## **BAB II**

### **TINJAUAN TEORETIS**

#### **2.1 Besi dan Pasir Besi**

Besi merupakan logam transisi yang sangat luas penggunaannya. Dimana dalam dunia teknik besi memegang peranan yang sangat penting. Besi dapat diperoleh dari proses ekstraksi bijih besi, salah satunya adalah pasir besi. Pasir besi dapat diolah menjadi besi yang dapat digunakan untuk memenuhi kebutuhan besi khususnya di Indonesia (Bhakti, dkk., 2010: 35).

Pasir merupakan logam kedua yang paling banyak ditemukan di Bumi yang membentuk 5 % dari pada kerak bumi. Karakter endapan pasir besi berupa endapan yang berdiri sendiri namun sering kali ditemukan berikatan dengan mineral logam lainnya dan hadir dalam berbagai jenis oksidasi. Pasir besi juga merupakan bahan alam yang banyak tersedia di Indonesia dan memiliki kekuatan yang hebat sehingga banyak dimanfaatkan oleh manusia, seperti yang telah dijelaskan oleh Allah swt. dalam QS. al-Hadid/ 57: 25 (Kementrian Agama R.I, 2013: 832).



Terjemahnya:

“Sesungguhnya kami Telah mengutus rasul-rasul kami dengan membawa bukti-bukti yang nyata dan Telah kami turunkan bersama mereka Al Kitab dan neraca (keadilan) supaya manusia dapat melaksanakan keadilan. dan kami ciptakan besi yang padanya terdapat kekuatan yang hebat dan berbagai manfaat bagi manusia, (supaya mereka mempergunakan besi itu) dan supaya Allah mengetahui siapa yang menolong (agama)Nya dan rasul-rasul-Nya padahal Allah tidak dilihatnya. Sesungguhnya Allah Maha Kuat lagi Maha Perkasa”.

Dalam Tafsir al-Muntakbah dalam (Shihab, 2002: 305-30), dikemukakan bahwa besi mempunyai kekuatan yang dapat membahayakan dan dapat pula menguntungkan manusia. Bukti paling kuat tentang hal ini adalah lempengan besi, dengan berbagai macamnya, secara bertingkat-tingkat mempunyai keistimewaan dalam bertahan menghadapi panas, tarikan, kekaratan dan kerusakan, di samping juga lentur hingga dapat menampung daya magnet. Karenanya, besi adalah logam paling cocok untuk senjata dan peralatan perang, bahkan merupakan bahan baku berbagai macam industri berat dan ringan yang dapat menunjang kemajuan peradaban.

Berdasarkan ayat di atas dijelaskan bahwa, kata “anzalnaa’ yang berarti “kami ciptakan” sedangkan secara ilmiah kata “anzalnaa’ berarti “kami turunkan” hal ini berdasarkan hasil penemuan para Astronom yang menyatakan bahwa, besi

sebenarnya tidak diciptakan melainkan diturunkan dari luar angkasa, sebagaimana yang telah dilakukan oleh peneliti Inggris yang menyatakan bahwa, logam berat yang terdapat pada besi dihasilkan dari inti-inti bintang yang memiliki ukuran raksasa hal ini disebabkan karena sistem tata surya tidak memiliki struktur yang cocok untuk menghantam besi, sehingga besi ini hanya dapat dihasilkan dari bintang-bintang yang memiliki ukuran yang jauh lebih besar dari matahari yang suhunya mencapai ratusan juta derajat.

Ketika jumlah besi yang terdapat pada bintang-bintang sudah melewati batas ambang atau batas tertentu maka terjadilah ledakan melalui peristiwa “supernova”. Akibat dari ledakan tersebut, material-material yang mengandung besi bertaburan di seluruh penjuru alam semesta dan bergerak dalam ruang hampa hingga mengalami tarikan oleh gaya gravitasi bumi, material-material inilah yang kemudian ditemukan dalam bentuk bijih besi yang dapat dimanfaatkan oleh manusia hingga sekarang.

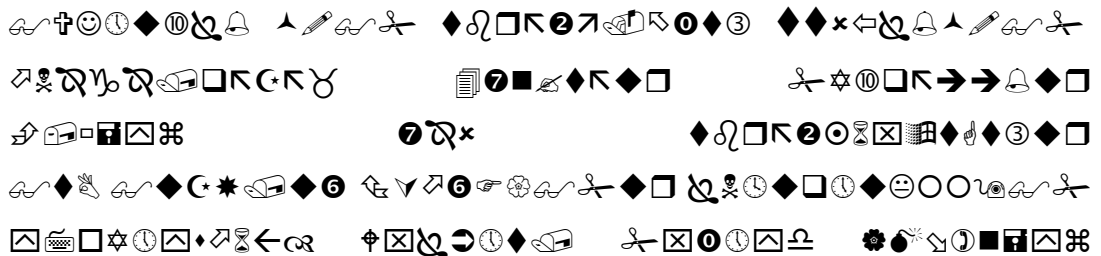
Selain itu, secara ilmiah dijelaskan mengapa surah al-Hadid ini terdapat dalam surah ke 57, hal ini dijelaskan bahwa unsur besi dalam kimia mempunyai 4 isotop yaitu 54, 56, 57 dan 58 dan yang stabil hanya ada 3 isotop yaitu isotop 56, 57 dan 58. Dari ke 3 isotop tersebut hanya isotop 57 yang memiliki sifat yang unik, sehingga jadilah nomor surah dalam al-Qur’an surah al-Hadid ke-57. Kemudian, jika kita menghitung kata “Allah” dari awal Surat al-Hadid sampai ayat 25 (yang mengandung kata hadid), ternyata kata “Allah” muncul 26 kali, sesuai dengan nomor atom besi (jumlah proton dalam inti atom besi).

Pada ayat tersebut juga terdapat kata “ fiihi ba’sun syadidun” yang berarti

“memiliki kekuatan yang hebat” dalam konteks agama, memang benar besi memiliki kekuatan yang hebat karena dapat dijadikan sebagai bahan baku dalam pembuatan alat perang, hal ini sesuai dengan penjelasan Allah swt. bahwa, ayat besi ini diturunkan pada masa Perang Uhud, dimana Allah swt. memerintahkan kepada manusia untuk membuat pedang dan alat perang lainnya dari besi.

Pasir besi pada umumnya mempunyai komposisi utama besi oksida ( $Fe_2O_3$ ), silikon oksida ( $SiO_2$ ), serta senyawa-senyawa lain dengan kadar yang lebih rendah. Komposisi kandungan pasir dapat diketahui setelah dilakukan pengujian, misalnya dengan menggunakan *X-Ray Diffraction (XRD)* (Kartika, 2010: 1). Pasir besi di Indonesia umumnya banyak ditambang di areal sungai atau dasar sungai karena lebih mudah dijangkau (Anwar, 2007: 1).

Pasir besi selain sebagai bahan baku industri baja, pasir besi juga dapat dimanfaatkan sebagai bahan baku industri semen dalam pembuatan beton. Pasir besi yang mempunyai kandungan  $Fe_2O_3$ ,  $SiO_2$  dan  $MgO$  dengan ukuran beton 80-100 mesh berpotensi digunakan sebagai pengganti semen dalam produksi beton berkinerja tinggi. Banyaknya kegunaan dari pasir besi ini sehingga dapat dimanfaatkan oleh manusia. Seperti yang telah dijelaskan oleh swt. dalam QS. al-Imran/ 3: 191 (Kementrian Agama R.I, 2013: 832).





Terjemahnya:

“(yaitu) orang-orang yang mengingat Allah sambil berdiri atau duduk atau dalam keadaan berbaring dan mereka memikirkan tentang penciptaan langit dan bumi (seraya berkata): "Ya Tuhan kami, tiadalah Engkau menciptakan ini dengan sia-sia, Maha Suci Engkau, Maka peliharalah kami dari siksa neraka”.

Menurut tafsir Al-Misbah, pada ayat tersebut dijelaskan orang-orang yang mendalam pemahamannya dan berfikir tajam (ulul Albab), yaitu orang yang berakal, orang-orang yang mau menggunakan pikirannya, mengambil faedah, hidayah dan menggambarkan keagungan Allah. Ia selalu mengingat Allah (berdzikir) disetiap waktu dan keadaan, baik diwaktu ia berdiri, duduk tau berbaring. Jadi dijelaskan dalam ayat ini bahwa ulul albab yaitu yaitu orang-orang baik laki-laki maupun perempuan yang terus menerus mengingat Allah dengan ucapan atau hati dalam seluruh situasi dan kondisi.

Dalam ayat ini dijelaskan bahwa Allah tidak menciptakan semuanya ini dengan sia-sia, tetapi dengan penuh kebenaran agar Allah memberikan balasan kepada orang-orang yang beramal buruk terhadap apa-apa yang telah mereka kerjakan dan juga memberikan balasan orang-orang yang beramal baik dengan balasan yang lebih baik (surga). Kemudian mereka menyucikan Allah dari perbuatan sia-sia dan penciptaan yang bathil saraya berkata “subhanaka” Maha suci Engkau (Abdullah, 2013).

## 2.2 Bentuk Bijih Besi

Menurut (Wahab, 2011) bentuk dari bijih besi adalah sebagai berikut:

1. Berbentuk batu, seperti hematit ( $\text{Fe}_2\text{O}_3$ ), magnetit ( $\text{Fe}_3\text{O}_4$ ), dan batu besi merah ( $2\text{Fe}_2\text{O}_2, 3\text{H}_2\text{O}$ ).
2. Berbentuk pasir, yaitu  $\text{Fe}_3\text{O}_4$  disertai  $\text{TiO}_2$  (pasir besi hitam).
3. Berbentuk butiran halus campuran tanah liat yaitu *sperosiderit* ( $\text{Fe}, \text{CO}_3$ ).

### 2.3 Macam-Macam Bijih Besi

Menurut (Wahab, 2011) terdapat beberapa macam-macam bijih besi yang disediakan oleh alam, antara lain sebagai berikut:

1. Ferro carbonat ( $\text{FeCO}_3$ ) mengandung besi (Fe) sebesar 33 – 58 %, berbentuk kristal, berwarna kuning muda, dalam udara berbentuk  $\text{Fe}(\text{OH})_3$  yang berwarna biru kehitam-hitaman serta reduksi sangat mudah.
2. Sperosiderit ( $\text{FeCO}_3$ ) berbutir halus dan campur tanah liat.
3. Hematit ( $\text{Fe}_2\text{O}_3$ ) mengandung besi (Fe) yaitu 48 – 69 %.
4. Magnetit ( $\text{Fe}_3\text{O}_4$ ) mengandung besi sebesar 72 %, memiliki warn hijau kehitam-hitaman, reduksi sukar, serta harus dipanaskan lebih dahulu.
5. Pasir besi hitam ( $\text{Fe}_3\text{O}_4$  dengan  $\text{TiO}_2$  sampai 11 %), sering ditemukan dipantai salah satunya di pantai Indonesia yaitu pantai Cilacap ke barat. Bijih besi ini mengandung besi yaitu sebesar 30 %. Jenis bijih besi ini jarang diolah karena tidak menguntungkan.

### 2.4 Karakteristik dari Setiap Bijih Besi

Berikut karakteristik dari setiap bijih besi adalah sebagai berikut:

#### 4.4.1 Bijih Besi Hematite

Bijih besi *Hematite* merupakan mineral besi golongan oksida dengan rumus

kimia  $\text{Fe}_2\text{O}_3$ . Hematit biasanya berbentuk pipih dan tipis. Mineral ini memiliki permukaan yang dapat berubah warna jika sinar datang dari berbagai arah. Hematit berwarna kemerahan atau merah tua, abu-abu gelap dan hitam. Mineral ini memiliki tingkat kekerasan 5,5-6,5 dan massa jenisnya 4,2 sampai 5,25. Hematit memiliki sistem kristal rhombohedral.

Bijih besi *hematite* juga merupakan salah satu jenis bijih besi primer yang banyak digunakan sebagai bahan baku utama dalam pembuatan besi atau baja. Di Indonesia sendiri, bijih besi *hematite* banyak ditemukan di Ketapang (Kalimantan Barat), Belitung, Tasik dan lain-lain,

#### **2.4.2 Bijih Besi Magnetite**

Bijih besi *Magnetite* merupakan magnet alam dengan warna hitam dan tidak tembus cahaya dengan rumus kimia  $\text{Fe}_3\text{O}_4$ . Mineral ini memiliki susunan kristal isometrik atau kubik berupa *oktahedron* dan *dodecahedron*. Selain itu, mineral ini memiliki massa jenis 5,18 dan tingkat kekerasan 5,5-6,5. Mineral ini memiliki sifat fisik berupa kilap logam, ferromagnetik dan goresan berwarna hitam. Magnetit juga mengandung titanium dan chromium.

Bijih besi *magnetite* juga merupakan bijih besi yang memiliki sifat magnetik kuat. Proses pengolahan bijih besi ini cenderung lebih sulit dibandingkan dengan bijih besi *hematite*, hal ini disebabkan karena ikatan antara oksigen dan Fe yang dimilikinya jauh lebih kompak. Di Indonesia sendiri bijih besi ini banyak terdapat di Pangelarangan-Lampung, Sumatera Barat, dan lain-lain.

#### **2.4.3 Bijih Besi Laterite**

Biji besi *laterite* merupakan salah satu jenis bijih besi yang diperoleh dari hasil pelapukan batuan ultra basa atau batuan yang akan besi. Jenis mineral utamanya berupa geotit dan limonit. Kadar besi tidak terlalu tinggi, sekitar 35-45 persen (ada yang mencapai 50 persen atau lebih) karena mengandung air kristal. Di Indonesia bijih besi *laterite* banyak terdapat di Pulau Sebuku, Gunung Kukusan, Pomala, Halmahera.

## 2.5 Komposisi Kimia Pasir Besi

Berikut komposisi kimia dari pasir besi dapat dilihat pada tabel 2.1:

Tabel 2.1: Komposisi kimia dari pasir besi

| Unsur | Kandungan |
|-------|-----------|
| Al    | 2 %       |
| Si    | 5,91 %    |
| P     | 0,21 %    |
| K     | 0,37 %    |
| Ca    | 2,18 %    |
| Ti    | 6,26 %    |
| V     | 0,61 %    |
| Cr    | 0,01 %    |
| Mn    | 0,57 %    |
| Fe    | 69,07 %   |
| Bi    | 12 %      |

(Sumber: Wicaksono, 2011: 2)

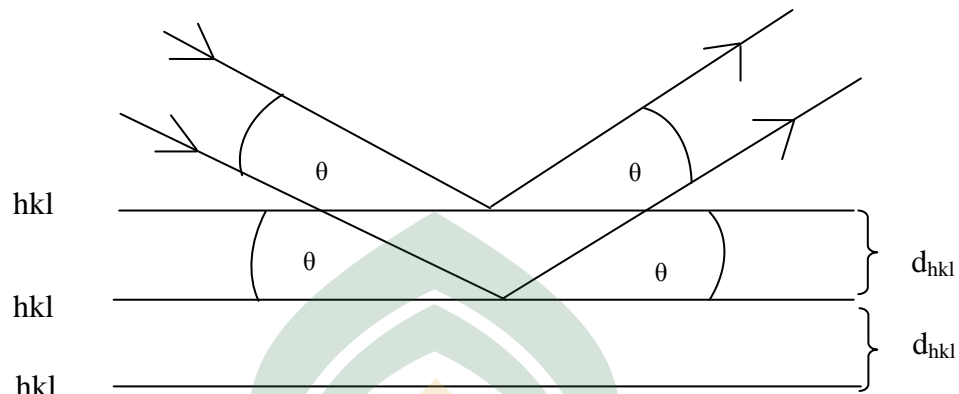
## 2.6 Ekstraksi Pasir Besi

Ekstraksi pasir besi yang dimaksud disini adalah suatu proses pemurnian pasir besi yang diperoleh dari alam yang akan digunakan sebagai bahan baku dalam pembuatan magnet atau untuk kebutuhan lainnya. Pasir besi yang diperoleh dari alam biasanya bercampur dengan pasir atau tanah liat, sehingga dibutuhkan suatu metode untuk memurnikan pasir besi secara magnetik.

Beberapa industri yang menggunakan pasir besi sebagai bahan dasar, sudah menggunakan alat separator magnetik yang dapat memisahkan pasir besi dengan pengotornya dalam skala ratusan bahkan ribuan ton perharinya. Sedangkan untuk skala laboratorium, peneliti biasanya lebih memilih menggunakan metode manual untuk mengekstrak pasir besi dengan magnet permanen. Perbedaan metode tersebut hanya terletak pada skala kuantitas. Untuk mendapatkan hasil yang optimal, ekstraksi manual harus dilakukan dengan syarat menggunakan magnet permanen yang memiliki induksi permanen yang besar, sekitar 2500 - 6000 Ga (Abdullah, 2013: 12).

## 2.7 Difraksi Sinar-X

Sinar-x adalah gelombang elektromagnetik yang mempunyai panjang gelombang antara 0,1 - 100 Å dan memiliki energi dalam rentang 100 eV – 100 Kev. Apabila seberkas sinar-X yang sejajar dan monokromatik dijatuhkan pada bidang kristal, maka sinar-X tersebut akan mengalami hamburan oleh atom-atom yang menyusun bidang kristal tersebut. Peristiwa hamburan pada kristal ini dikenal sebagai hukum Bragg seperti pada gambar 2.1:



Gambar 2.1 : Peristiwa difraksi pada kristal  
(Sumber: Hidayati, 1995: 8).

Model ini mengasumsikan bahwa, sinar-X yang datang benar-benar monokromatik, bidang kristal (hkl) yaitu bidang yang dibentuk oleh titik kisi benar-benar sejajar. Dimana menurut pendekatan Bragg, kristal dapat dipandang sebagai bidang-bidang yang datar yang masing-masing berfungsi sebagai cermin semi transparan. Jika sinar-X ditembakkan pada tumpukan bidang datar tersebut dengan sudut pantul yang sama dengan sudut datangnya maka sinar tersebut akan dipantulkan, sedangkan sisanya akan diteruskan menembus bidang.

Perumusan secara matematis dapat dikemukakan dengan menghubungkan panjang gelombang sinar-X, jarak antar bidang pada kristal dan sudut difraksi, seperti pada persamaan berikut:

$$n\lambda = 2 \cdot d \cdot \sin \theta ; n = 1,2,3.. \quad (2.1)$$

( Fery M, 2012: 53)

Keterangan:

$\lambda$  = Panjang gelombang sinar-X yang digunakan ( $\text{\AA}$ )

$d$  = Jarak antara dua bidang kisi (m)

$\theta$  = Sudut antara sinar datang dengan bidang normal ( $2\theta$ /menit)

$n$  = Bilangan bulat yang disebut sebagai orde pembiasan.

### 2.7.1 X-Ray Diffraction (XRD)

X-Ray Diffraction (XRD) merupakan salah satu metode karakteristik material yang paling tua dan paling sering digunakan hingga sekarang. Teknik ini digunakan untuk mengidentifikasi fasa kristalin dalam material dengan cara menentukan parameter struktur kisi serta untuk mendapatkan ukuran partikel. Bahan yang dianalisa adalah tanah halus, homogenized, dan rata-rata komposisi massal ditentukan (Ratnasari, 2009: 3).



Gambar 2.2: Shimadzu XRD type 7000

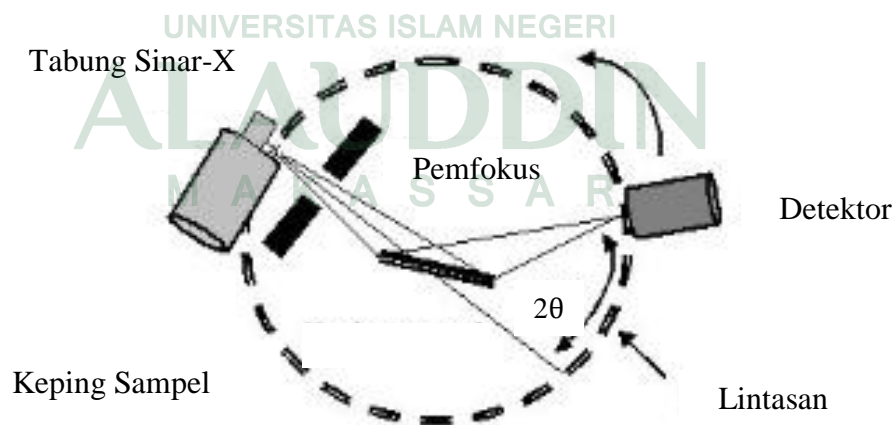
Pada waktu suatu material dikenai sinar-X, maka intensitas sinar yang ditransmisikan lebih rendah dari intensitas sinar datang. Hal ini disebabkan adanya penyerapan oleh material dan juga penghamburan oleh atom-atom dalam material

tersebut. Berkas sinar-X yang dihamburkan tersebut ada yang saling menghilangkan karena fasanya berbeda dan ada juga yang saling menguatkan karena fasanya sama. Berkas sinar-X yang saling menguatkan itulah yang disebut sebagai berkas difraksi (Ratnasari, 2009: 2).

Hasil dari penembakan logam dengan elektron energi tertinggi dengan karakterisasi tersebut sinar-X mampu menembus zat padat sehingga dapat digunakan untuk menentukan struktur kristal. Hamburan sinar ini dihasilkan bila suatu elektron logam ditembak dengan elektron-elektron berkecepatan tinggi dalam tabung hampa udara (Beiser, 1992: 48).

### 2.7.2 Prinsip Kerja *X-Ray Diffraction (XRD)*

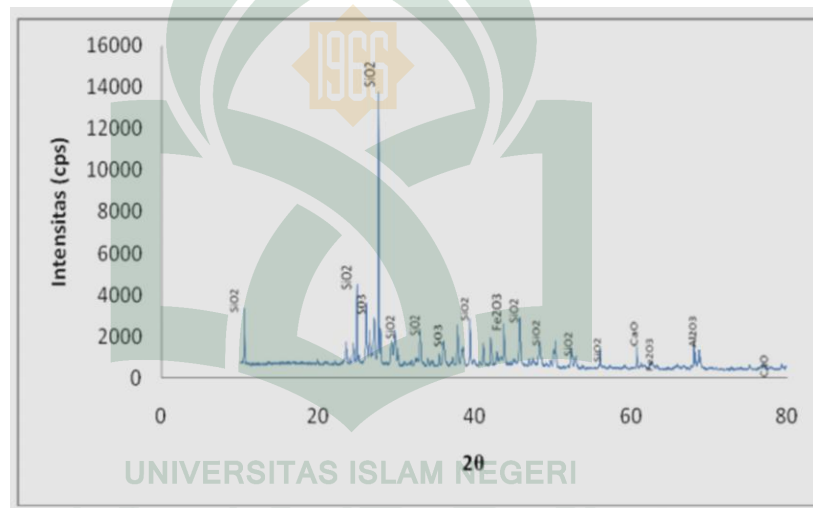
Salah satu teknik yang digunakan untuk menentukan struktur suatu padatan kristalin adalah dengan menggunakan metode difraksi sinarX serbuk (*Xray powder diffraction*) seperti terlihat pada gambar 2.3 berikut:



Gambar 2.3: Prinsip kerja *x-ray diffraction (XRD)*  
(Sumber: Beiser, 1992).

Dari gambar di atas dapat dijelaskan bahwa, jika seberkas sinar-X

ditembakkan pada sampel padatan kristalin, maka bidang kristal ini akan membiaskan sinar-X yang memiliki panjang gelombang yang sama dengan jarak kisi dalam kristal (yang memenuhi hukum Bragg). Kemudian sinar yang dibiaskan akan ditangkap oleh detektor, detektor kemudian akan mencatat puncak intensitas yang bersesuaian dengan orde pembiasan (orde- $n$ ) yang digunakan, yang kemudian akan ditampilkan dalam bentuk grafik yaitu grafik difraktogram yang merupakan grafik hubungan antara intensitas ( $cps$ ) dengan  $2\theta$ , yang dapat dilihat pada grafik berikut:



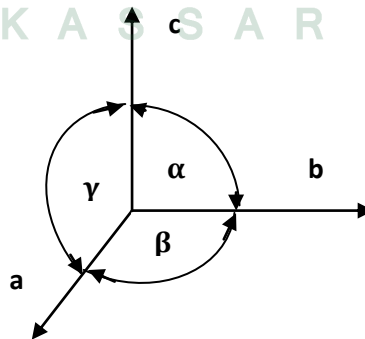
Gambar 2.4: Grafik contoh analisis sampel dari uji *XRD*  
(Sumber : Sania., dkk, 2014: 268).

Dari grafik di atas, besarnya intensitas relatif dari deretan puncak-puncak tersebut bergantung pada jumlah atom atau ion yang ada dalam sampel. Dimana semakin banyak bidang kristal yang terdapat dalam sampel, maka semakin kuat intensitas pembiasan yang dihasilkan. Tiap puncak yang muncul pada pola *XRD* mewakili satu bidang kristal yang memiliki orientasi tertentu dalam sumbu tiga dimensi.

Prinsip kerja *XRD* secara umum adalah *XRD* terdiri dari tiga bagian utama, yaitu tabung sinar-X, tempat objek yang diteliti dan detektor sinar-X. Sinar-X dihasilkan di tabung sinar-X yang berisi katoda memanaskan filamen, sehingga menghasilkan elektron. Perbedaan tegangan menyebabkan percepatan elektron akan menembaki objek. Ketika elektron mempunyai tingkat energi yang tinggi dan menabrak elektron dalam objek sehingga dihasilkan pancaran sinar-X. Objek dan detektor berputar untuk menangkap dan merekam intensitas refleksi sinar-X. Detektor merekam dan memproses sinyal sinar-X dan mengolahnya dalam bentuk grafik (Ratnasari, 2009: 3).

## 2.8 Struktur Kristal

Susunan khas atom-atom dalam kristal disebut struktur kristal. Struktur kristal dibangun oleh sel satuan (*unit cell*). Sel satuan adalah bagian terkecil dari unit struktur yang dapat menjelaskan struktur suatu kristal. Tiga sisi suatu sel satuan disebut sudut-sudut permukaan batas (antar permukaan) seperti yang diperlihatkan pada gambar 2.5, pengulangan dari sel satuan akan mewakili struktur secara keseluruhan. (Fery, 2012: 13-14).



Gambar 2.5: Sumbu-sumbu dan sudut-sudut antar sumbu kristal  
(Sumber: Suwitra, 1989).

Sumbu-sumbu  $a$ ,  $b$ , dan  $c$  adalah sumbu-sumbu yang dikaitkan dengan parameter kisi kristal. Sedangkan  $\alpha$ ,  $\beta$ , dan  $\gamma$  merupakan sudut antar sumbu-sumbu referensi kristal. Berdasarkan sumbu-sumbu  $a$ ,  $b$ , dan  $c$  (kisi bidang) dan sudut  $\alpha$ ,  $\beta$ , dan  $\gamma$  (kisi ruang), kristal dikelompokkan menjadi 7 sistem kristal (hubungan sudut satu dengan sudut yang lain) seperti pada tabel 2.2:

Tabel 2.2: Tujuh sistem kristal

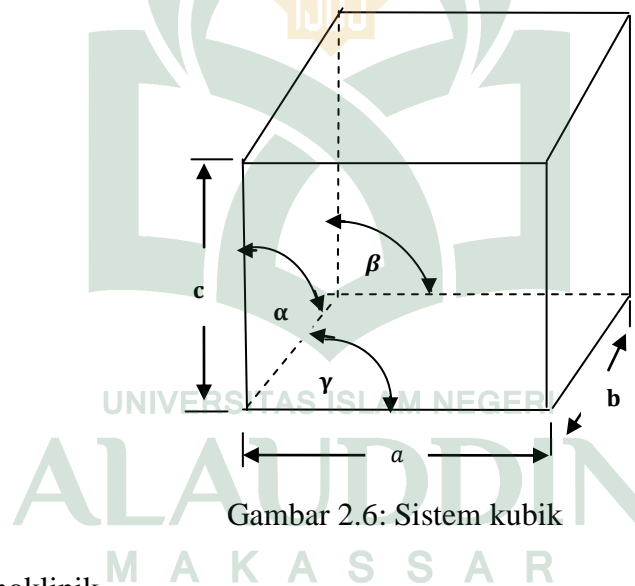
| Sistem kristal         | Parameter kisi  | Simbol           |
|------------------------|---|------------------|
| Kubik                  | $a = b = c$<br>$\alpha = \beta = \gamma = 90^\circ$                   | P<br>I<br>F      |
| Monoklinik             | $a = b \neq c$<br>$\alpha = \beta = 90^\circ \neq \gamma$             | P<br>C           |
| Triklinik              | $a \neq b \neq c$<br>$\alpha = \beta = \gamma \neq 90^\circ$          | P                |
| Tetragonal             | $a = b \neq c$<br>$\alpha = \beta = \gamma = 90^\circ$                | P<br>I           |
| Orthorombik            | $a \neq b \neq c$<br>$\alpha = \beta = \gamma = 90^\circ$             | P<br>C<br>I<br>F |
| Trigonal/ Rhombohedral | $a = b \neq c$<br>$\alpha = \beta = \gamma \neq 90^\circ > 120^\circ$ | P                |
| Heksagonal             | $a = b \neq c$<br>$\alpha = \beta = 90^\circ, \gamma = 120^\circ$     | P                |

(sumber: Kittel, 1976).

Penjelasan dari tujuh sistem kristal di atas adalah berikut:

### 1. Sistem Kubik

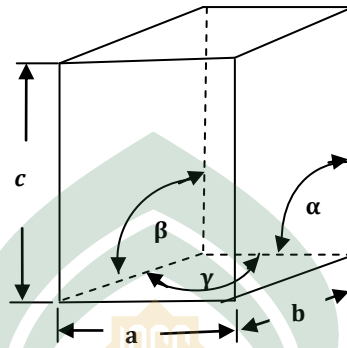
Sistem ini merupakan suatu sistem kristal kubus atau kubik, dengan jumlah sumbu kristalnya ada tiga dan saling tegak lurus satu dengan yang lainnya. yaitu pada kondisi sebenarnya sistem kristal ini memiliki rasio perbandingan sumbu  $a = b = c$ . dengan sudut kristalografi  $\alpha = \beta = \gamma = 90^\circ$ . hal ini berarti bahwa pada sistem ini semua sudut kristalnya ( $\alpha$ ,  $\beta$ , dan  $\gamma$ ) tegak lurus satu sama lain membentuk sudut  $90^\circ$ .



Gambar 2.6: Sistem kubik

### 2. Sistem Monoklinik

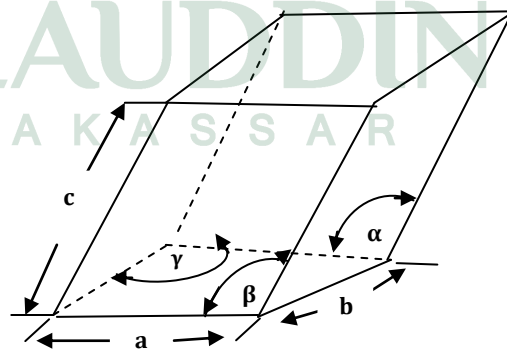
Sistem ini juga memiliki tiga sumbu, ketiga sumbu tersebut mempunyai panjang yang tidak sama yaitu sumbu  $b$  yang tidak sama dengan  $c$ , namun sumbu  $a$  tegak lurus terhadap sumbu  $b$ . Dengan rasio perbandingan sumbu  $a = b \neq c$ . Sudut kristalografi yaitu  $\alpha = \beta = 90^\circ \neq \gamma$ .



Gambar 2.7: Sistem monoklinik

### 3. Sistem Triklinik

Sistem ini mempunyai tiga sumbu simetri yang satu dengan lainnya tidak saling tegak lurus. Demikian juga panjang masing-masing sumbunya tidak sama yaitu  $a \neq b \neq c$ . dan juga memiliki sudut kristalografi  $\alpha = \beta = \gamma \neq 90^\circ$ . Hal ini berarti bahwa, pada sistem ini sudut  $\alpha$ ,  $\beta$ , dan  $\gamma$  tidak saling tegak lurus satu dan yang lainnya

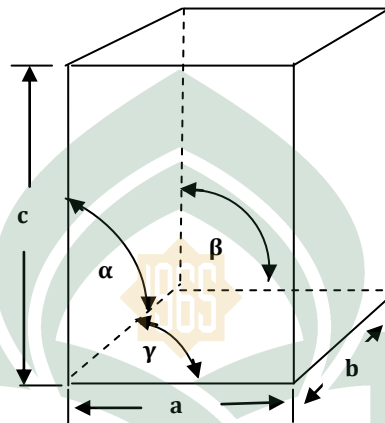


Gambar 2.8: Sistem triklinik

### 4. Sistem Tetragonal

Sama dengan sistem kubik, sistem kristal ini mempunyai tiga sumbu kristal

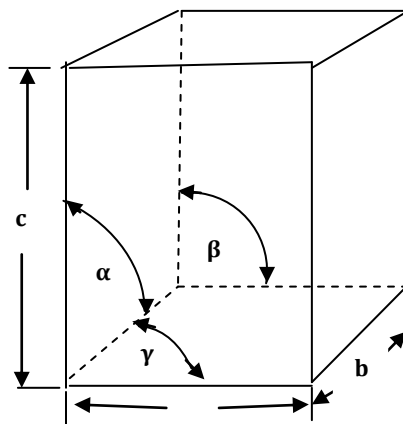
masing-masing saling tegak lurus. Sumbu a dan b mempunyai satuan panjang sama sedangkan sumbu c berlainan, dapat lebih pendek atau lebih panjang. Tapi umumnya lebih panjang. Pada kondisi sebenarnya perbandingan sumbu  $a = b \neq c$ . Dengan sudut kristalografi  $\alpha = \beta = \gamma = 90^\circ$ .



Gambar 2.9: Sistem tetragonal

#### 5. Sistem Orthorhombik

Sistem ini disebut juga sistem Rhombis dan mempunyai tiga sumbu simetri kristal yang saling tegak lurus satu dengan yang lainnya. Ketiga sumbu tersebut mempunyai panjang yang berbeda. Pada kondisi sebenarnya, sistem kristal Orthorhombik memiliki perbandingan sumbu  $a \neq b \neq c$ . Dan juga memiliki sudut kristalografi  $\alpha = \beta = \gamma = 90^\circ$ . Hal ini berarti bahwa, pada sistem ini ketiga sudutnya saling tegak lurus ( $90^\circ$ ).

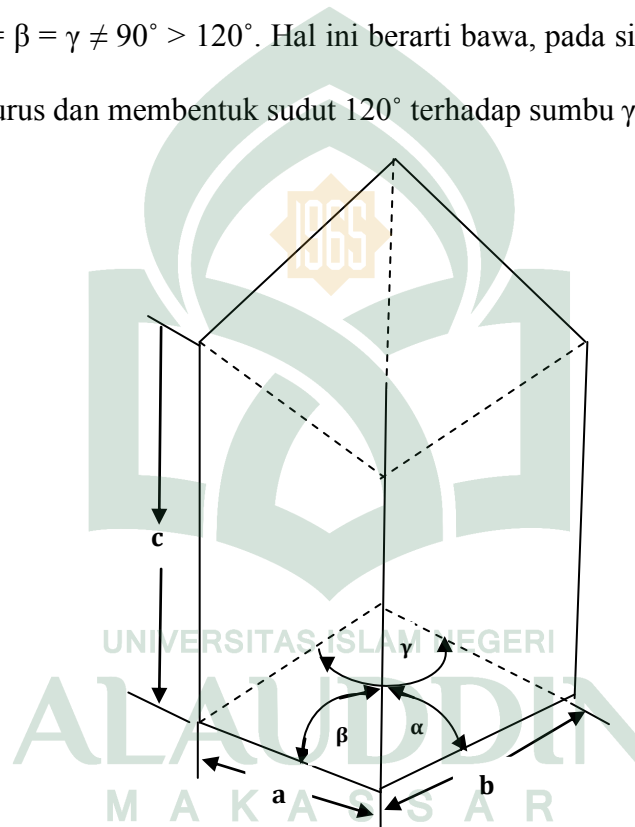


a

Gambar 2.10: Sistem Orthorhombik

## 6. Sistem Trigonal/ Rhombohedral

Trigonal memiliki rasio perbandingan sumbu  $a = b \neq c$ , yang artinya panjang sumbu a dan b sama, tapi tidak sama dengan sumbu c. Dan juga memiliki sudut kristalografi  $\alpha = \beta = \gamma \neq 90^\circ > 120^\circ$ . Hal ini berarti bahwa, pada sistem ini sudut  $\alpha$  dan  $\beta$  saling tegak lurus dan membentuk sudut  $120^\circ$  terhadap sumbu  $\gamma$ .

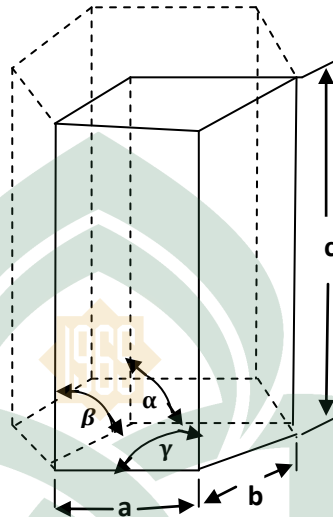


Gambar 2.11: Sistem trigonal/ rhombohedral

## 7. Sistem Hexagonal

Sistem ini mempunyai 3 sumbu kristal, dimana sumbu a dan b memiliki panjang yang sama. Sedangkan panjang sumbu c berbeda. Dapat lebih panjang atau lebih pendek (umumnya lebih panjang). Pada kondisi sebenarnya, sistem kristal Hexagonal

memiliki rasio perbandingan sumbu  $a = b \neq c$ . Dan juga memiliki sudut kristalografi  $\alpha = \beta = 90^\circ$  ;  $\gamma = 120^\circ$ . Hal ini berarti bahwa, pada sistem ini sudut  $\alpha$  dan  $\beta$  saling tegak lurus dan membentuk sudut  $120^\circ$  terhadap sumbu  $\gamma$ .



Gambar 2.12: Sistem trigonal/ rhombohedral

Suatu kristal mempunyai banyak bidang kristal hkl. Tiap-tiap bidang hkl mempunyai jarak  $d_{hkl}$  tertentu, tergantung harga parameter kisi dan strukturnya. Adapun hubungan antara parameter kisi dengan jarak antar bidang hkl yaitu sesuai dengan strukturnya adalah sebagai berikut:

$$\text{Kubik} \quad : \quad \frac{1}{(d_{hkl})^2} = \frac{h^2 + k^2 + l^2}{a^2}$$

$$\text{Tetragonal} \quad : \quad \frac{1}{(d_{hkl})^2} = \frac{h^2 + k^2 + l^2}{a^2} + \frac{l^2}{c^2}$$

$$\text{Heksagonal} \quad : \quad \frac{1}{(d_{hkl})^2} = \frac{4}{3} \frac{h^2 + hk + k^2}{a^2} + \frac{l^2}{c^2}$$

$$\text{Ortorombik} \quad : \quad \frac{1}{(d_{hkl})^2} = \frac{h^2}{a^2} + \frac{k^2}{b^2} + \frac{l^2}{c^2}$$

$$\text{Monoklinik} : \frac{1}{(d_{hkl})^2} = \frac{h}{\sin^2 \beta} \left( \frac{h^2}{a^2} + \frac{k^2 \sin^2 \beta}{b^2} + \frac{l^2}{c^2} - \frac{2hl \cos \beta}{ac} \right)$$

$$\text{Triklinik} : \frac{1}{(d_{hkl})^2} = \frac{1}{v^2} (s_{11}h^2 + s_{22}k^2 + s_{33}l^2 + 2s_{12}hk + 2s_{23}kl + 2s_{13}hl)$$

$$\text{Trigonal} : \frac{1}{(d_{hkl})^2} = \frac{(h^2+k^2+l^2)\sin^2 a + 2hk+kl+hl(\cos^2 a)}{a^2(1-3\cos^2 a + \cos^2 a)}$$

Dengan  $V$  = Volume satuan sel;

$$s_{11} = b^2 c^2 \sin^2 \alpha$$

$$s_{22} = abc^2 (\cos \alpha \cos \beta - \cos \gamma)$$

$$s_{22} = a^2 c^2 \sin^2 \beta$$

$$s_{22} = a^2 bc (\cos \beta \cos \gamma - \cos \alpha)$$

$$s_{33} = a^2 b^2 c^2 \sin^2 \gamma$$

$$s_{22} = ab^2 c (\cos \gamma \cos \alpha - \cos \beta)$$

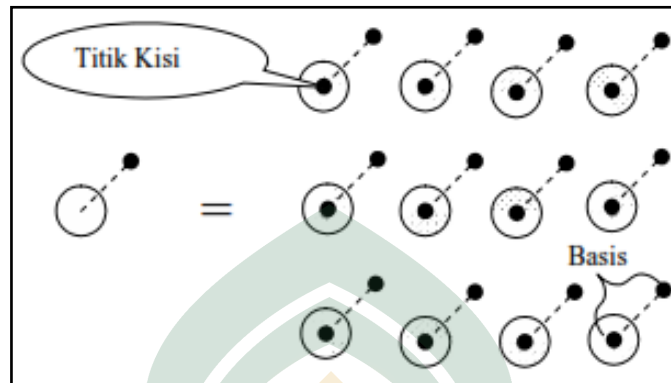
(Kittel, 1991)

Jadi dengan adanya difraksi atau hamburan, bila struktur dan ukuran sel diketahui maka besarnya sudut hamburan dapat ditentukan. Sebaliknya bila posisi puncak pola difraksi dari suatu kristal diketahui, maka dapat ditentukan bentuk dan ukuran sel kristal tersebut (Hidayati, 1995: 8).

## 2.9 Parameter Kisi

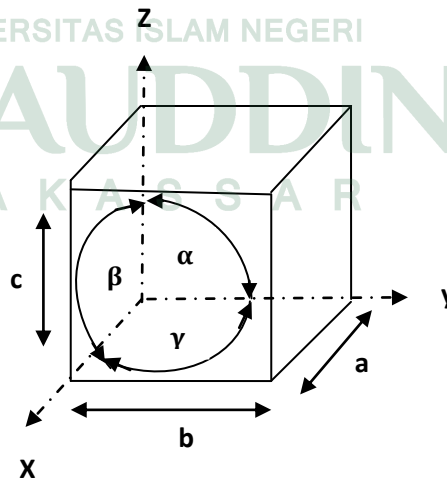
Sebuah kristal ideal disusun oleh satuan struktur yang identik secara berulang tak hingga di dalam ruang. Dimana semua struktur kristal dapat digambarkan atau dijelaskan dalam istilah *lattice* (kisi) dan sebuah basis yang ditempatkan pada sebuah titik kisi. *Lattice* (kisi) merupakan sebuah susunan titik yang teratur dan periodik di dalam ruang. Sedangkan basis merupakan sekumpulan atom-atom yang menghubungkan titik kisi, dengan jumlah atom dalam basis terdiri dari satu buah

atom atau lebih. Sehingga gabungan antara kisi dan basis akan membentuk struktur kristal.



Gambar 2.13: Kisi dan basis pembentuk struktur kristal.  
(Sumber: [file.upi.edu/Direktori/FPMIPA/.../1.Struktur\\_Kristal\\_\(hand\\_out\).pdf](file.upi.edu/Direktori/FPMIPA/.../1.Struktur_Kristal_(hand_out).pdf)).

Sehingga sistem kristal merupakan cara untuk mengklasifikasikan bentuk kristal berdasarkan geometri sel unit yaitu berdasarkan letak atom dalam sumbu xyz. Geometri sel unit didefinisikan sebagai analisis terhadap enam parameter yaitu : panjang tepi  $a, b, c$  dan tiga sudut interaksial  $\alpha, \beta, \gamma$ .



Gambar 2.14: Sebuah sel satuan dengan sumbu koordinat x, y, z, menunjukkan panjang aksial ( $a, b, c$ ) dan sudut interaxial ( $\alpha, \beta, \gamma$ )  
(Sumber: Jusnita, 2014: 23).

Parameter ini sering dinyatakan sebagai *lattice parameter* (parameter kisi) dari struktur kristal. Atas dasar inilah sehingga ada tujuh kemungkinan kombinasi yang berbeda dari a,b,c serta  $\alpha,\beta,\gamma$ , masing-masing mewakili sistem kristal yang berbeda. Ketujuh kristal sistem ini: kubik, tetragonal, heksagonal, ortorombik, rhombohedral, monoklinik, dan triklinik. Sehingga persamaan umum yang digunakan untuk menghitung parameter kisi (ukuran rata-rata kristal) yaitu:

$$D = \frac{k\lambda}{B \cos \theta} \quad (2.2)$$

(Nurmawati, 2007: 21)

Keterangan:

D = Ukuran rata-rata kristal (nm)

k = Konstanta Scherrer (0,9)

$\lambda$  = Panjang gelombang Sinar-X ( $\text{\AA}$ )

$\theta$  = Sudut difraksi ( $^{\circ}$ )

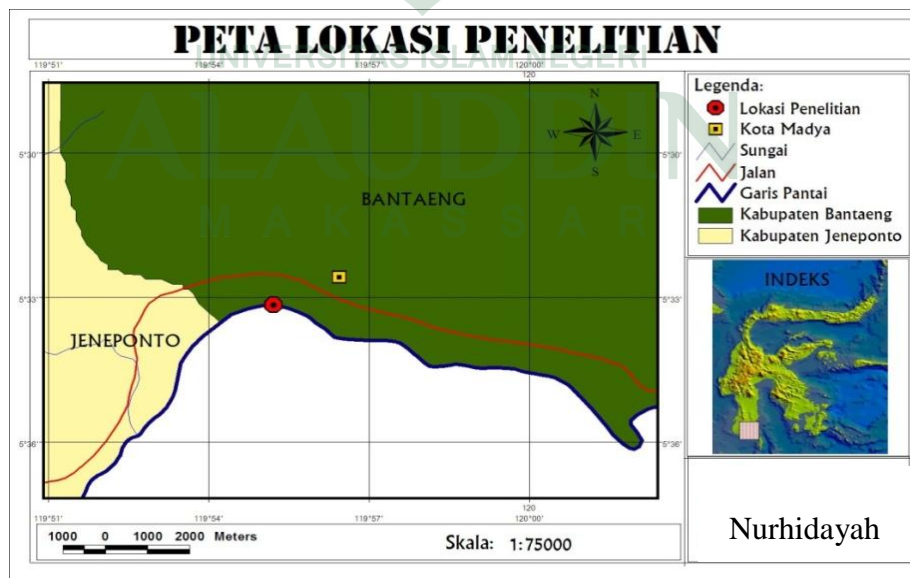
B (FWHM) = Lebar setengah puncak maksimum (radian).

### BAB III

## METODE PENELITIAN

### 3.1 Waktu dan Tempat Penelitian

Penelitian ini dilaksanakan pada bulan Maret - Agustus 2016, yang bertempat di Pantai Marina, Kab. Bantaeng. Serta analisis karakteristik material pasir besi di Laboratorium XRD dan XRF Fakultas Matematika dan IPA, UNHAS Makassar. Adapun peta lokasi penelitian dapat dilihat pada gambar 3.1 berikut:



Gambar 3.1: Peta lokasi penelitian

(Sumber: Dokumen Pribadi, 2015)

### 3.2 Alat dan Bahan

Alat dan bahan yang akan digunakan pada penelitian ini adalah sebagai berikut:

#### 3.2.1 Alat

Beberapa alat yang akan digunakan pada tahap pengambilan sampel yaitu:

1. Pengambilan sampel terdiri dari seperangkat cangkul, sekop, wadah, meteran dan lakban.
2. Preparasi sampel terdiri dari oven, ayakan 200 mesh, magnet permanen, mortar, wadah dan plastik sampel.
3. Pengujian karakteristik material pasir besi digunakan plat aluminium berukuran 2 x 2 cm dan satu sendok sampel berukuran sendok teh serta seperangkat alat *X-Ray Diffraction (XRD)* (Shimadzu XRD type 7000).

#### 3.2.2 Bahan

Bahan yang akan digunakan pada penelitian ini berupa pasir besi yang berasal dari pantai Marina, Kabupaten Bantaeng.

### 3.3 Prosedur Penelitian

Pada penelitian ini akan dilakukan tiga tahap penelitian:

#### 3.3.1 Pengambilan Sampel

Adapun tahap pengambilan sampel pada penelitian ini yaitu:

1. Memplot titik koordinat lokasi penelitian yang akan diambil sampel pasir besinya dengan menggunakan GPS.
2. Selanjutnya melakukan pengambilan sampel dengan menggunakan metode sumur uji (*Test Pit*) pada kedalaman yang berbeda-beda yaitu 1,5 meter hingga 3 meter dengan menggunakan cangkul.
3. Menentukan kode sampel yaitu:
  - a). Sampel A = pasir besi yang berada di bagian permukaan.
  - b). Sampel B = pasir besi yang berada di kedalaman 1,5 m.
  - c). Sampel C = pasir besi yang berada di kedalaman 3 m.
4. Selanjutnya masing-masing sampel yang berkode dimasukkan ke dalam wadah tertutup dengan menggunakan sekop.

### 3.3.2 Preparasi Sampel

Tahap dari preparasi sampel adalah sebagai berikut:

1. Menyiapkan pasir dan mengeringkannya dengan cara mengoven sampel pada suhu  $150^{\circ}\text{C}$ , untuk menghilangkan kadar air yang terdapat pada sampel serta untuk memudahkan pada saat proses pengayakan. Lama waktu yang diperlukan untuk mengoven setiap sampel yaitu 40 menit.
2. Mengayak pasir dengan menggunakan ayakan 200 mesh, selanjutnya hasil dari proses pengayakan tersebut ditempatkan pada wadah yang besar yaitu untuk memisahkan ukuran butir (partikel yang berukuran besar dan kecil). Tujuan dari pemisahan ukuran butir ini adalah untuk mengetahui interval setiap ukuran butir dari sampel hasil pengayakan.

3. Mengekstrak pasir dengan menggunakan magnet permanen sampai diperoleh sifat kemagnetannya.
4. Hasil ekstraksi tersebut kemudian dihaluskan sampai berbentuk bubuk dengan menggunakan mortar. Selanjutnya sampel yang telah berbentuk bubuk kemudian diuji karakteristik materialnya dengan menggunakan *X-Ray Diffraction (XRD)*.

#### **4.3.3 Karakteristik Sample Pasir Besi dengan Menggunakan *X-Ray Diffraction (XRD)*.**

1. Mengambil sampel yang telah berbentuk bubuk dengan volume satu sendok teh, kemudian memasukkan ke dalam plat aluminium berukuran  $2 \times 2$  cm.
2. Selanjutnya plat aluminium yang berisi sampel dikarakteristik dengan menggunakan XRD-7000 SHIMADZU dengan sumber Cu-Ka1, yang memiliki panjang gelombang tertentu dalam satuan Amstrom. Kemudian mengatur besarnya tegangan dan arus yang akan digunakan. Selanjutnya pengambilan data difraksi dilakukan dalam rentang sudut difraksi  $2\theta$  dengan kecepatan baca waktu per detik.
3. Menembakkan sinar-X menuju sampel, sehingga akan membuat detektor berputar sesuai dengan rentang sudut difraksi  $2\theta$  yang digunakan. Selanjutnya setelah ditembakkan maka akan terbaca pada monitor atau layar komputer grafik difraktogram yaitu grafik hubungan intensitas dengan  $2\theta$ . Grafik difraktogram ini kemudian diinterpretasi dengan menggunakan bantuan

*Software Match*. Kemudian *Software Match* ini akan memberikan informasi tentang struktur kristal yang terdapat pada sampel. Selanjutnya menghitung besarnya ukuran kristal atau parameter kisi pada sampel dengan menggunakan persamaan *Scherrer*.

Tabel 3.1: Karakteristik material pasir besi dengan menggunakan *XRD*.

Panjang gelombang sinar-X ( $\lambda$ ) = ... Å

Orde pembiasan (n) = ...

| Kode sampe | Karakteristik material pasir besi |                      |                         |                                    |                                  |                        |
|------------|-----------------------------------|----------------------|-------------------------|------------------------------------|----------------------------------|------------------------|
|            | Struktur/<br>bentuk kristal       | Kandungan<br>Mineral | Persentase<br>kandungan | Standar<br>kandungan<br>pasir besi | Density<br>(gr/cm <sup>3</sup> ) | Parameter<br>kisi (nm) |
| A1         |                                   |                      |                         |                                    |                                  |                        |
| B1         |                                   |                      |                         |                                    |                                  |                        |
| C1         |                                   |                      |                         |                                    |                                  |                        |
| A2         |                                   |                      |                         |                                    |                                  |                        |
| B2         |                                   |                      |                         |                                    |                                  |                        |
| C2         |                                   |                      |                         |                                    |                                  |                        |

Keterangan :

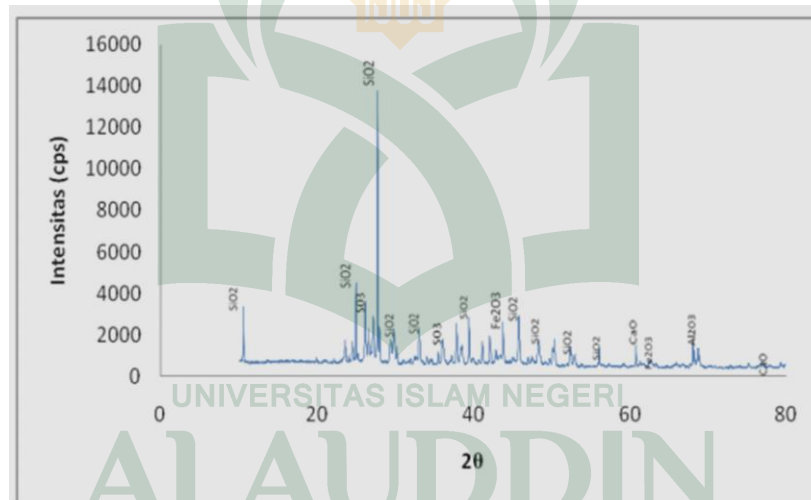
A : Sampel yang berada di atas permukaan.

B : Sampel yang berada pada kedalaman 1,5 meter.

C : Sampel yang berada pada kedalaman 3 meter.

### 3.4 Teknik Analisis Data

Teknik analisis data pada penelitian ini yaitu sebelum material pasit besi diuji dengan menggunakan *XRD*, terlebih dahulu mengatur nilai panjang gelombang, orde pembiasan serta sudut difraksi  $2\theta$  yang digunakan. Selanjutnya dari hasil perekaman sampel maka akan terbaca pada monitor grafik difraktogram yaitu grafik hubungan antara intensitas  $2\theta$  seperti tampak pada gambar berikut ini:



Gambar 3.2: Grafik contoh analisis sampel dari uji *XRD* (sumber: Sania.,dkk, 2014:268).

Grafik difraktogram di atas kemudian dimasukkan dan diolah dengan menggunakan bantuan *Software Match*. Kemudian *Software Match* ini akan memberikan informasi mengenai struktur kristal, sel parameter, densitas dan nilai hkl (indeks bidang) yang terdapat pada sampel. Sehingga jika struktur

kristal diketahui maka parameter kisi juga dapat ditentukan dengan menggunakan persamaan berikut:

$$D = \frac{k\lambda}{B \cos \theta} \quad (2.2)$$

(Nurmawati, 2007: 21)

Keterangan:

D = Ukuran rata-rata kristal (nm)

k = Konstanta Scherrer (0,9)

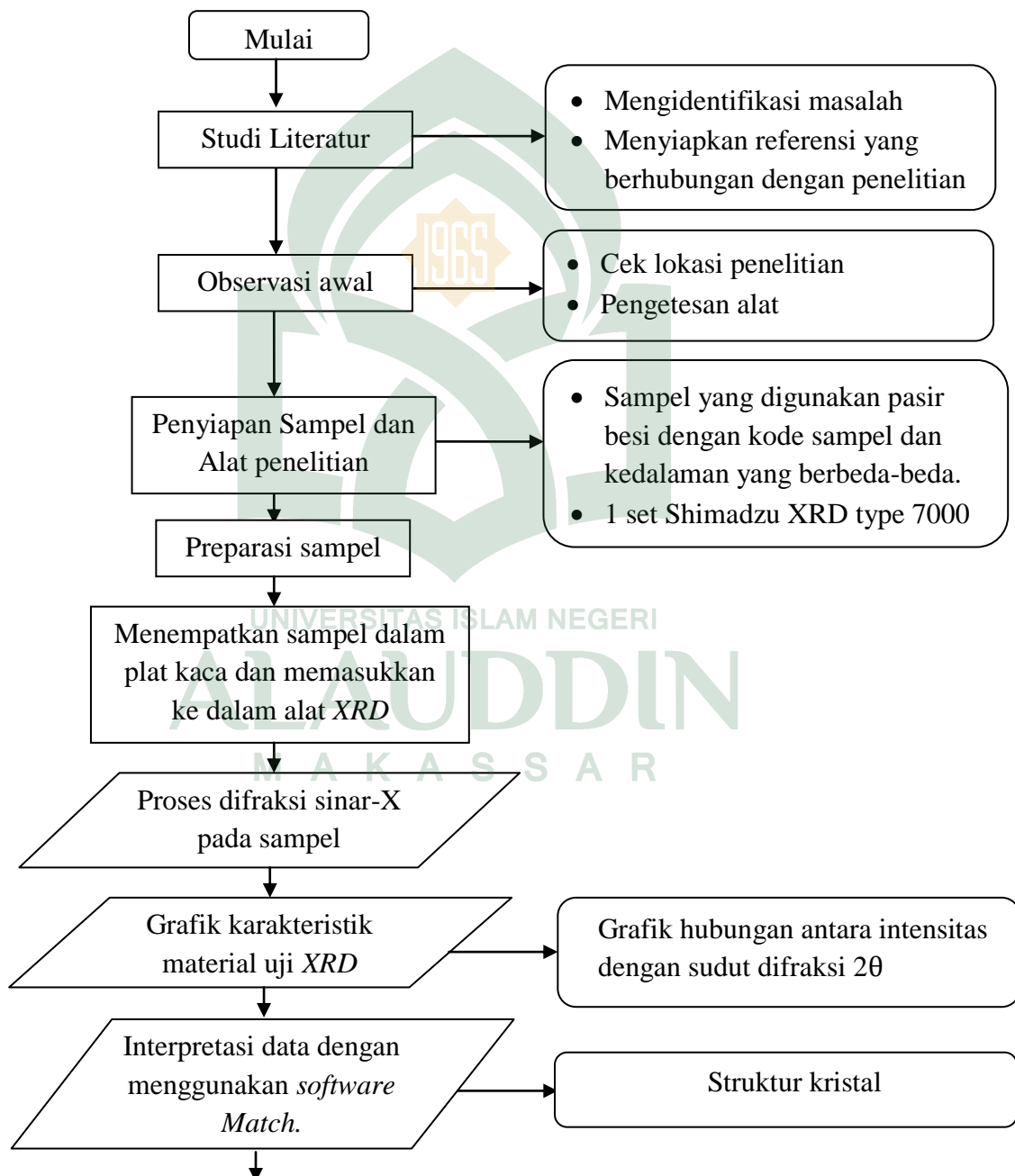
$\lambda$  = Panjang gelombang Sinar-X ( $\text{\AA}$ )

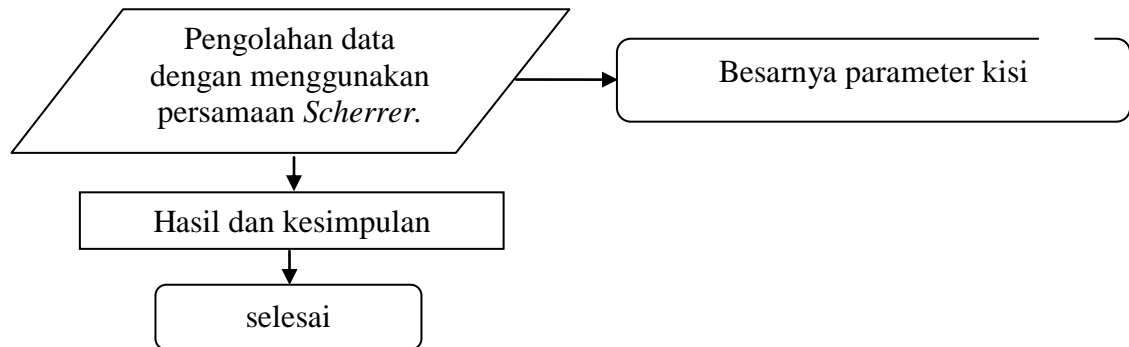
$\theta$  = Sudut difraksi ( $^{\circ}$ )

B (FWHM) = Lebar setengah puncak maksimum (radian).



### 3.5 Diagram Alir Penelitian





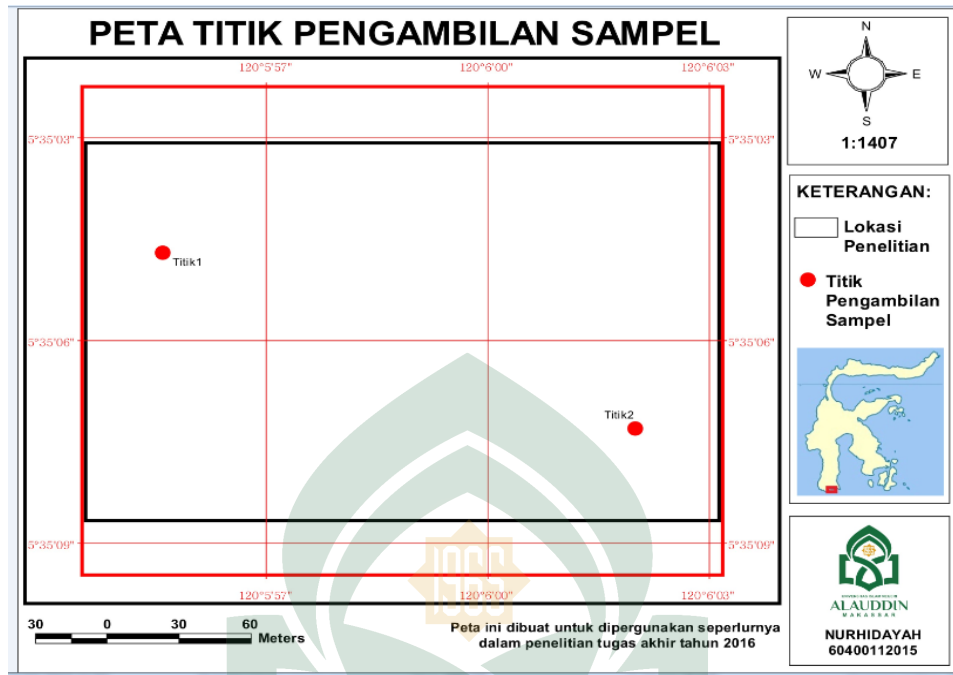
## BAB IV

### HASIL DAN PEMBAHASAN

#### 4.1 Hasil Penelitian

Penelitian ini dilakukan di Pantai Marina Desa Baruga, Dusun Borong Batu Kec. Pajukukang, Kabupaten Bantaeng. Pengambilan sampel pasir besi dilakukan pada dua titik sampel, untuk setiap titik dilakukan pengambilan sampel dengan metode sumur uji yang masing-masing terdiri dari tiga kedalaman yang berbeda-beda. Pada titik sampel pertama diambil di bagian tepi pantai dan titik sampel kedua diambil pada bagian tengah pantai. Hal yang menyebabkan sehingga hanya dua titik pengambilan sampel dilakukan karena bagian tepi pantai pertama dan kedua memiliki pasir besi yang homogen.

Selanjutnya melakukan plotting koordinat pada setiap titik pengambilan sampel dengan menggunakan GPS, yang hasilnya dapat dilihat pada gambar di bawah:



Gambar 4.1: Peta titik pengambilan sampel penelitian

Sampel pasir besi yang telah diambil pada masing-masing titik diberi kode sampel yaitu:

a. Titik sampel I

A1: sampel yang berada di bagian permukaan

B1: sampel yang berada pada kedalaman 1,5 meter

C1: sampel yang berada pada kedalaman 3 meter.

b. Titik sampel II

A2: sampel yang berada di bagian permukaan

B2: sampel yang berada pada kedalaman 1,5 meter

C2: sampel yang berada pada kedalaman 3 meter.

Selanjutnya melakukan pengujian XRD yang dimulai dengan preparasi sampel yaitu dengan cara mengeringkan sampel menggunakan oven dengan suhu  $150^{\circ}\text{C}$ , untuk menghilangkan kandungan  $\text{H}_2\text{O}$  atau kadar air yang terdapat pada sampel. Lama waktu yang dibutuhkan untuk mengoven setiap sampel yaitu 40 menit. Sampel yang telah kering kemudian diayak menggunakan ayakan 200 mesh (0,074 mm), selanjutnya hasil dari proses pengayakan ini diekstrak dengan menggunakan magnet permanen untuk diambil bijih besinya. Hasil ekstraksi ini kemudian dihaluskan dengan menggunakan mortar hingga sampel berbentuk bubuk.

Sampel yang telah berbentuk bubuk kemudian diuji karakteristik materialnya dengan menggunakan XRD-7000 SHIMADZU, dengan lama penyinaran masing-masing sampel sekitar 45 menit. Hasilnya kemudian akan terbaca melalui monitor berupa grafik difraktogram yaitu grafik hubungan antara intensitas dan  $2\theta$ . Lebar puncak dari masing-masing grafik sampel menunjukkan banyaknya sinar-X yang terhambur pada bidang  $d_{hkl}$  yang sama. Sehingga semakin tinggi puncak difraksi maka semakin banyak sinar-X yang terhambur pada bidang  $d_{hkl}$  yang sama.

Berdasarkan hasil analisis sampel dari kedua titik pengambilan data, maka dihasilkan karakteristik material pasir besi dengan menggunakan *X-Ray Diffraction* (XRD) seperti pada tabel 4.1 berikut:

Tabel 4.1: Hasil karakteristik material pasir besi dengan menggunakan *X-Ray**Diffraction (XRD)*.Panjang gelombang sinar-X ( $\lambda$ ) = 1540600 Å

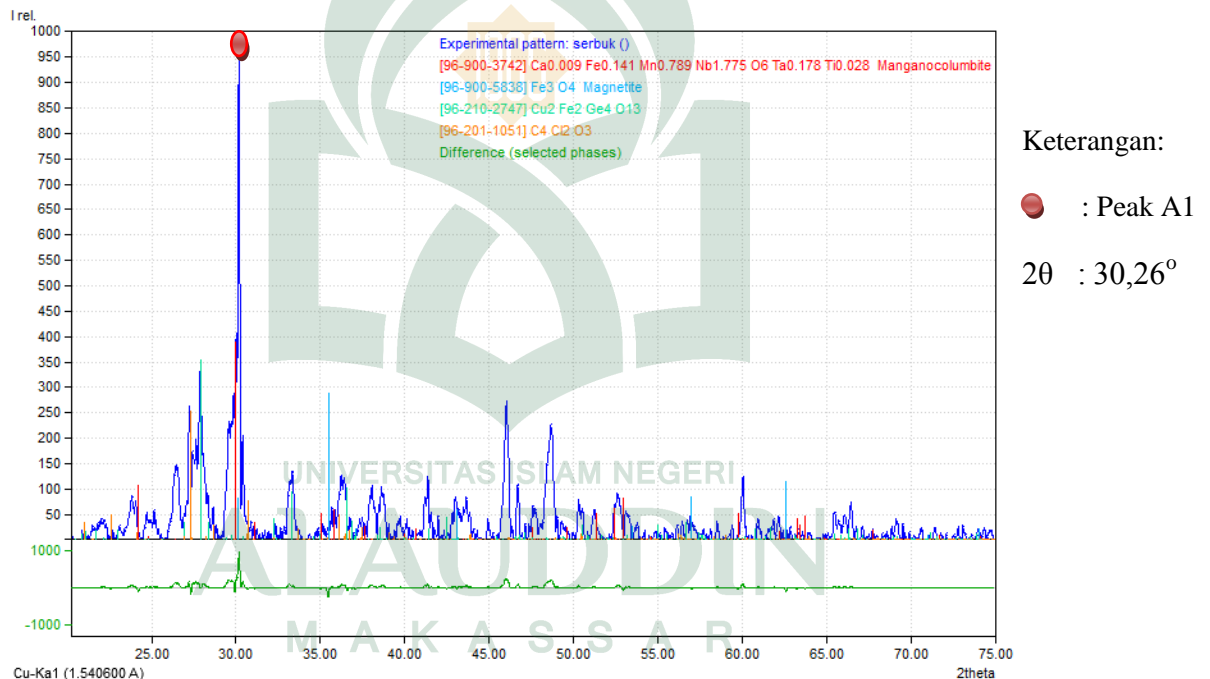
Orde pembiasan (n) = 20-60

| Kode sampe | Karakteristik material pasir besi |   |                      |   |                               |                     |
|------------|-----------------------------------|---|----------------------|---|-------------------------------|---------------------|
|            | Struktur/<br>bentuk kristal       | Kandungan mineral   | Persentase kandungan | Standar kandungan pasir besi                                | Density (gr/cm <sup>3</sup> ) | Parameter kisi (nm) |
| A1         | <i>Cubic</i>                      | <i>Magnetite</i> (Fe <sub>3</sub> O <sub>4</sub> )  | 16,3 %               | <i>Magnetite</i> (Fe <sub>3</sub> O <sub>4</sub> ) 72 %     | 5,214                         | 57,484              |
| B1         | <i>Hexagonal</i>                  | <i>Chayesite</i> (Fe <sub>2</sub> K <sub>2</sub> Mg <sub>3</sub> O <sub>30</sub> Si <sub>12</sub> ) | 34,6 %               | -   | 2,797                         | 55,946              |
| C1         | <i>Cubic</i>                      | <i>Magnetite</i> (Fe <sub>3</sub> O <sub>4</sub> )  | 27,5 %               | <i>Magnetite</i> (Fe <sub>3</sub> O <sub>4</sub> ) 72 %     | 5,230                         | 56,059              |
| A2         | <i>Triclinic</i>                  | <i>Sodium tetrairon pentamolybdate</i> (Fe <sub>4</sub> Mo <sub>5</sub> NaO <sub>20</sub> )         | 13,1 %               | -   | 4,089                         | 44,962              |
| B2         | <i>Rhombohedral</i>               | <i>Hematite</i> (Fe <sub>2</sub> O <sub>3</sub> )   | 8,0 %                | <i>Hematite</i> (Fe <sub>2</sub> O <sub>3</sub> ) 48 – 69 % | 5,266                         | 123,23              |
| C2         | <i>Rhombohedral</i>               | <i>Hematite</i> (Fe <sub>2</sub> O <sub>3</sub> )   | 1,8 %                | <i>Hematite</i> (Fe <sub>2</sub> O <sub>3</sub> ) 48 – 69 % | 5,266                         | 37,409              |

## 4.2 Pembahasan

### 4.2.1 Grafik Analisis Sampel XRD Pada Titik I

Berdasarkan pola hasil difraksi sinar-X pada grafik 4.1, maka dilakukan analisa secara kualitatif yaitu dengan identifikasi fasa kristalin sampel yang didasarkan pada penyesuaian posisi puncak difraksi yang terukur dengan *database (peak list)* yang ada. Penyesuaian puncak difraksi dan *database* ini dilakukan dengan menggunakan *software Match 2*.

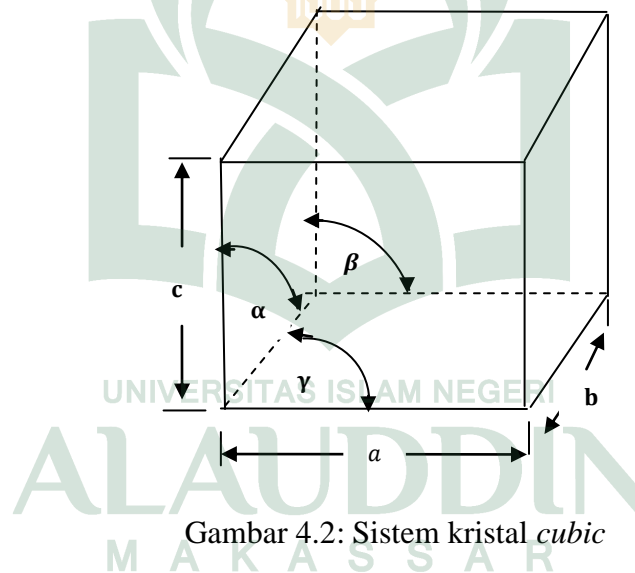


Grafik 4.1: Hubungan intensitas dan  $2\theta$  pada karakteristik sampel pasir besi di bagian permukaan.

Hasil analisis secara keseluruhan diketahui bahwa kandungan fasa yang terdapat pada titik pertama bagian permukaan (A1) yaitu *Magnetite* ( $\text{Fe}_3\text{O}_4$ ) sebanyak 16,3 %, dengan struktur kristal *cubic*. Artinya jumlah sumbu yang terdapat pada kristal *cubic* ada tiga dan saling tegak lurus satu dengan yang lainnya. Dengan

perbandingan panjang yang sama untuk masing-masing sumbunya. Sehingga pada kondisi sebenarnya, sistem kristal *cubic* memiliki rasio perbandingan sumbu  $a = b = c$ . Dengan sudut kristalografi  $\alpha = \beta = \gamma = 90^\circ$ . Hal ini berarti bahwa, semua sudut kristal ( $\alpha$ ,  $\beta$  dan  $\gamma$ ) tegak lurus satu sama lain ( $90^\circ$ ).

Selanjutnya untuk menentukan parameter kisi dilakukan analisa kuantitatif dengan menggunakan *Microsoft Excel* berdasarkan (persamaan 2.2). Hasil pengolahan data tersebut, diperoleh parameter kisi sebesar 57,484 nm. Artinya ukuran rata-rata dari kristal *cubic* sebesar 57,484 nm. Hal ini dapat dilihat pada gambar 4.2:

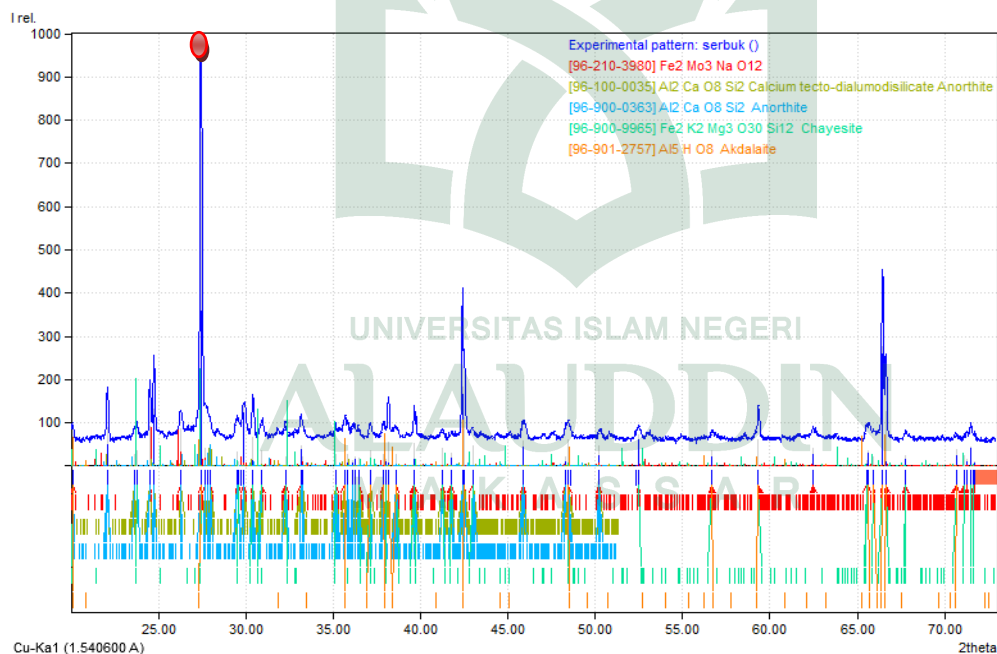


Gambar 4.2: Sistem kristal *cubic*

Analisis terhadap enam parameter pada gambar 4.2 yaitu : panjang tepi  $a, b, c$  dan tiga sudut interaksial  $\alpha, \beta, \gamma$  adalah parameter kisi kristal atau ukuran dari kristal kubik secara keseluruhan. Adapun besar nilai densitasnya adalah  $5,214 \text{ g/cm}^3$ . Artinya besar massa jenis dari kristal kubik sebesar  $5,214 \text{ g/cm}^3$  yang diperoleh dari massa atom per sel satuan.

Pada sampel ini juga, jika dilihat pada (tabel 4.1) hasil karakteristik material pasir besinya diketahui bahwa, pada bagian permukaan untuk titik pertama ditemukan adanya pasir besi *Magnetite* ( $\text{Fe}_3\text{O}_4$ ) yang jumlahnya hanya sebesar 16,3 %. Dari hasil tersebut, maka pasir besi yang ada di Pantai Marina Kab. Bantaeng belum dapat dieksplorasi secara luas karena belum mencapai 72 % sesuai dengan standar jumlah pasir besi yang siap eksplor.

Selanjutnya untuk sampel yang berada pada kedalaman 1,5 meter juga dilakukan perlakuan yang sama seperti halnya pada sampel pertama. Sehingga diperoleh grafik seperti pada gambar 4.2:



Keterangan:

● : Peak B1

2θ : 27,44°

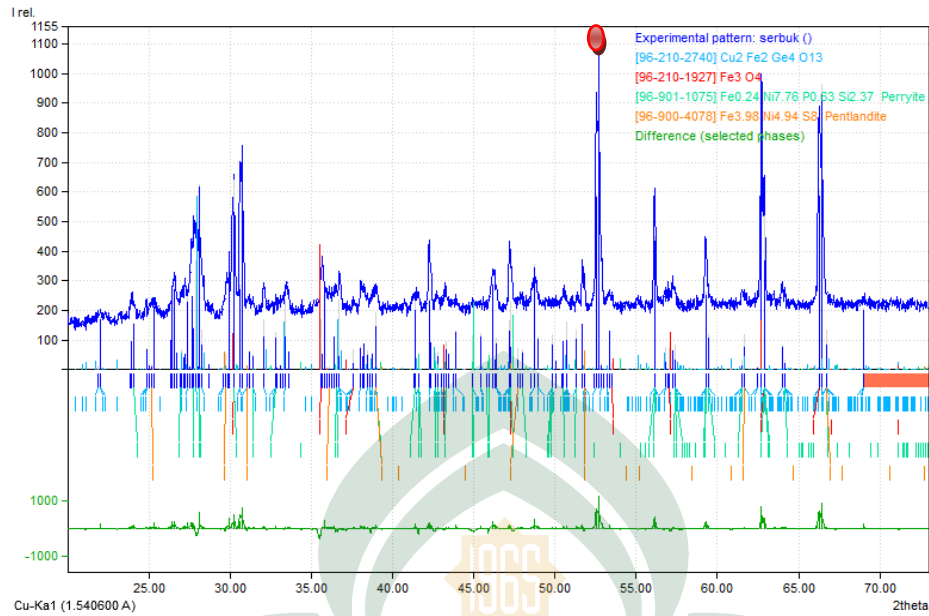
Grafik 4.2: Hubungan intensitas dan 2θ pada karakteristik sampel pasir besi di kedalaman 1,5 meter

Berdasarkan grafik 4.2, diketahui bahwa pada kedalaman 1,5 meter tidak ditemukan adanya pasir besi. Namun masih ditemukan adanya kandungan Fe berupa

*Chayesite* ( $\text{Fe}_2\text{K}_2\text{Mg}_3\text{O}_{30}\text{Si}_{12}$ ) sebanyak 34,6 %. Mengingat komposisi kimia dari pasir besi harus mengandung mineral utama besi yaitu *titanomagnetite* ( $\text{Fe}_{2,5}\text{Ti}_{0,5}\text{O}_4$ ) dengan sedikit *magnetite* ( $\text{Fe}_3\text{O}_4$ ) dan *hematite* ( $\text{Fe}_2\text{O}_3$ ) yang disertai dengan mineral pengotor yang memiliki unsur dominan seperti aluminium (Al), silikon (Si), vanadium (V) atau unsur lain seperti yang terdapat pada (tabel 2.1). Sedangkan mineral yang didapatkan pada titik ini hanya mengandung beberapa persen besi (Fe), kalium (K) dan silikon (Si), sehingga belum mencapai persentasi dari komposisi kimia pasir besi.

Struktur kristal dari *Chayesite* ini adalah *hexagonal* yang berarti struktur ini mempunyai 3 sumbu kristal, dimana sumbu c tegak lurus terhadap kedua sumbu lainnya. Dengan sumbu a dan b yang masing-masing membentuk sudut  $120^\circ$  terhadap satu dan yang lainnya. Pada kondisi sebenarnya, sistem kristal *hexagonal* memiliki ratio perbandingan sumbu  $a = b \neq c$ . Dengan sudut kristalografi  $\alpha = \beta = 90^\circ$  ;  $\gamma = 120^\circ$ . Hal ini berarti bahwa, sudut  $\alpha$  dan  $\beta$  saling tegak lurus dan membentuk sudut  $120^\circ$  terhadap sumbu  $\gamma$ . Sedangkan besar ukuran kristal atau parameter kisinya adalah 55,946 nm. Dengan densitas sebesar  $2,797 \text{ g/cm}^3$

Adapun untuk kedalaman 3 meter didapatkan kandungan pasir besi yang sama dengan sampel bagian permukaan yaitu *Magnetite* ( $\text{Fe}_3\text{O}_4$ ), namun dengan persentasi yang lebih banyak yaitu 27,5 %. Struktur kristalnya *cubic* dan parameter kisi sebesar 56,059 nm. Dengan densitas sebesar  $5,230 \text{ g/cm}^3$ . Pada grafik 4.3 diperoleh banyak *peak* yang muncul, hal ini disebabkan karena banyak unsur lain yang terdapat pada sampel.



Grafik 4.3: Hubungan intensitas dan  $2\theta$  pada karakteristik sampel pasir besi di kedalaman 3 meter.

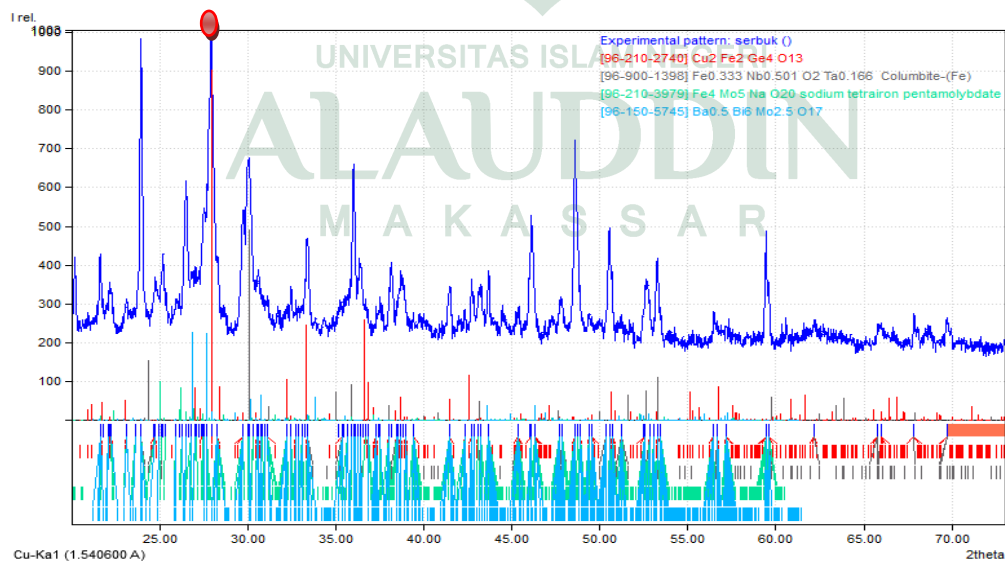
Keterangan:

● : Peak C1

$2\theta$  :  $52,69^\circ$

#### 4.2.2 Grafik Analisis Sampel XRD Pada Titik II

Pada titik pengambilan sampel kedua ini diperoleh grafik hasil analisis seperti pada grafik 4.4 berikut:



Keterangan:

● : Peak A2

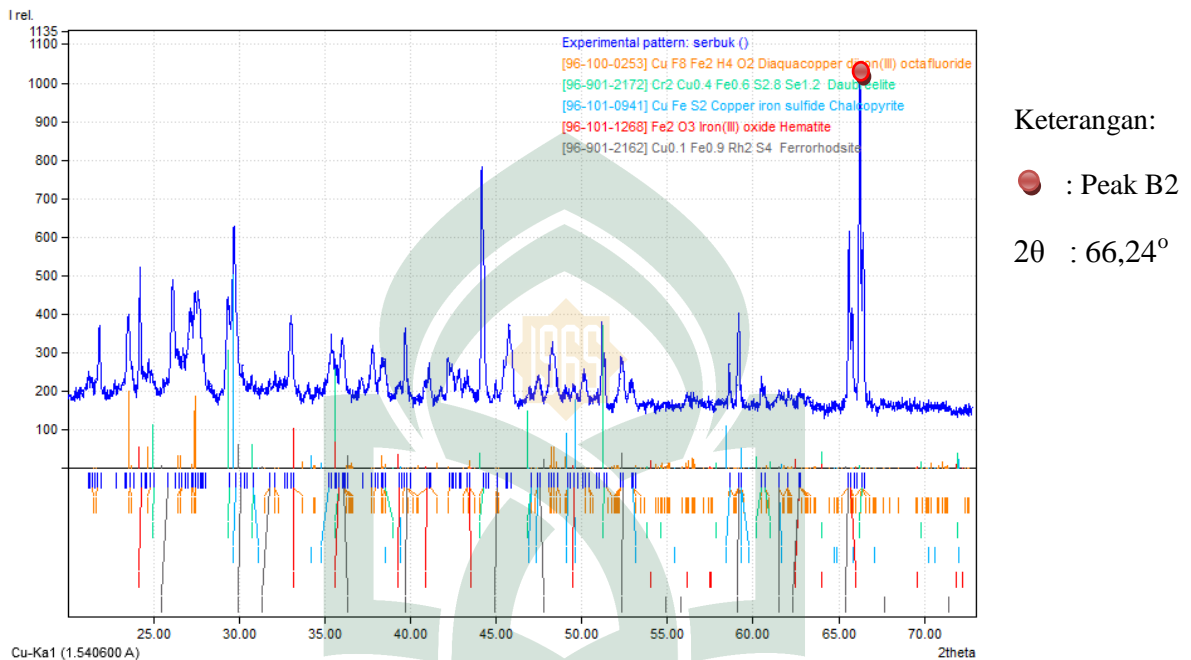
$2\theta$  :  $27,94^\circ$

Grafik 4.4: Hubungan intensitas dan  $2\theta$  pada karakteristik sampel pasir besi di bagian permukaan.

Berdasarkan hasil uji sampel, diketahui bahwa pada titik ini juga tidak ditemukan adanya pasir besi, seperti pada titik pertama kedalaman 1,5 meter. Namun juga masih terdapat kandungan Fe berupa *Sodium tetriron pentamolybdate* ( $\text{Fe}_4\text{Mo}_5\text{NaO}_{20}$ ) sebanyak 13,1 %. Seperti yang diketahui bahwa, unsur yang didapatkan pada titik ini hanya mengandung Fe dalam jumlah yang sedikit serta *molibden* (Mo), *natrium* (Na) dan *oksigen* (O) yang tidak termasuk dalam komposisi kimia dari pasir besi seperti pada (tabel 2.1). Unsur ini juga merupakan salah satu unsur kimia yang memiliki warna perak-putih, bersifat logam yang sangat reaktif. Dengan struktur kristal *triclinic*. Artinya, sistem ini mempunyai 3 sumbu simetri dimana antara satu dengan yang lainnya tidak saling tegak lurus. Demikian juga panjang masing-masing sumbu tidak sama. Dengan rasio perbandingan sumbu  $a \neq b \neq c$ . Dengan sudut kristalografi  $\alpha = \beta = \gamma \neq 90^\circ$ . Hal ini berarti bahwa, sudut  $\alpha$ ,  $\beta$  dan  $\gamma$  tidak saling tegak lurus satu dengan yang lainnya. Kemudian berdasarkan pengolahan data diperoleh parameter kisi sebesar 44,962 nm, serta massa jenis atau densitas sebesar  $4,089 \text{ g/cm}^3$ . Pada sampel ini juga terdapat unsur lain yang dapat dilihat dari banyaknya *peak* yang muncul pada (grafik 4.4).

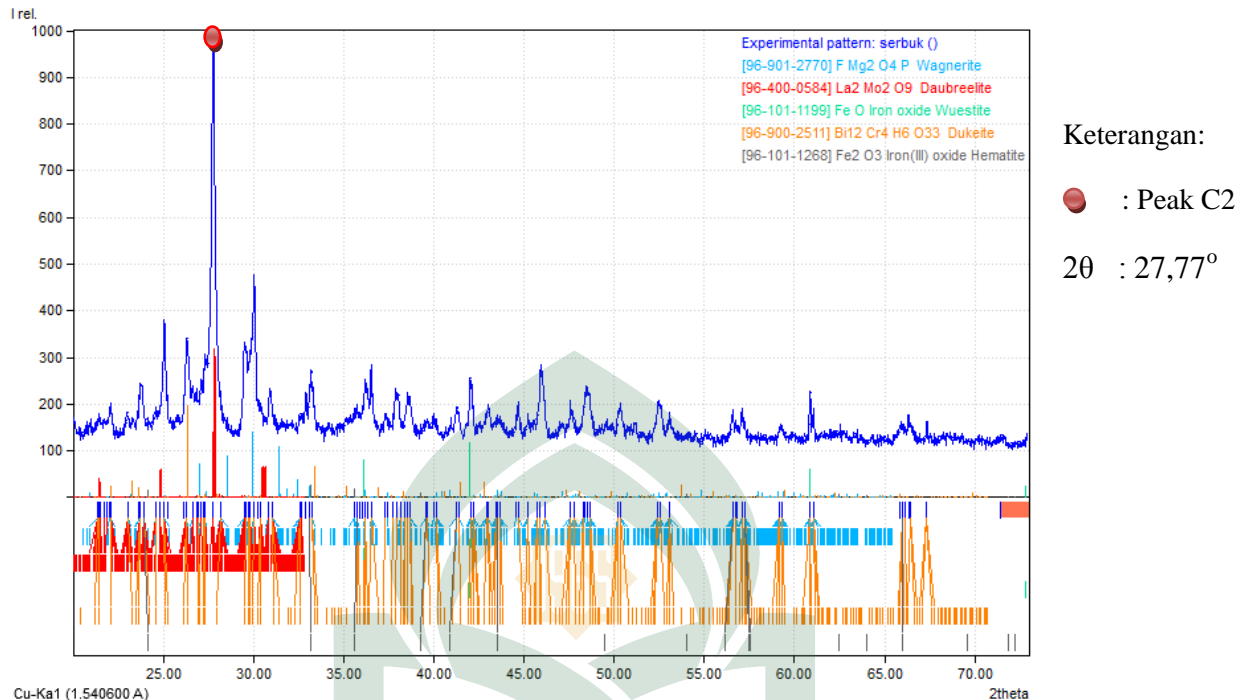
Selanjutnya untuk sampel yang berada pada kedalaman 1,5 meter ditemukan adanya pasir besi berupa *Hematite* ( $\text{Fe}_2\text{O}_3$ ) sebanyak 8,0 % dengan struktur kristal *rhombohedral*. Artinya, rasio perbandingan sumbunya  $a = b = c$ . Dengan sudut kristalografi  $\alpha = \beta = \gamma \neq 90^\circ > 120^\circ$ . Hal ini berarti bahwa, sudut  $\alpha$  dan  $\beta$  saling tegak lurus dan membentuk sudut  $120^\circ$  terhadap sumbu  $\gamma$ . Dengan ukuran rata-rata kristal (parameter kisi) sebesar 123,23 nm dan desitas sebesar  $5,266 \text{ g/cm}^3$ . Namun, jumlah

pasir besi yang didapatkan juga belum dapat dieksplorasi secara luas karena belum mencapai 48-69 %. Grafik analisis XRD pada sampel ini dapat dilihat pada grafik 4.5:



Grafik 4.5: Hubungan intensitas dan  $2\theta$  pada karakteristik sampel pasir besi pada di kedalaman 1,5 meter.

Untuk sampel yang berada pada kedalaman 3 meter didapatkan kandungan pasir besi yang sama dengan sampel pada kedalaman 1,5 meter, berupa *Hematite* ( $\text{Fe}_2\text{O}_3$ ) sebanyak 1,8 % dengan struktur kristal *rhombohedral* serta parameter kisi atau ukuran kristal sebesar 37,409 nm, serta densitas sebesar  $5,266 \text{ g/cm}^3$ . Grafik hasil analisis sampelnya dapat dilihat pada gambar 4.6 berikut:



Grafik 4.6: Hubungan intensitas dan  $2\theta$  pada karakteristik sampel pasir besi di kedalaman 3 meter.

Berdasarkan hasil analisis dari dua titik tempat pengambilan sampel, dengan setiap titik terdiri dari tiga kedalaman yang berbeda-beda diketahui bahwa, sebagian besar titik pengambilan sampel ditemukan pasir besi walaupun dalam jumlah persentasi yang lebih sedikit. Disamping itu, diperoleh pula dua titik yang tidak memiliki mineral pasir besi yakni titik pertama pada kedalaman 1,5 meter, namun dari hasil analisis pada titik ini masih ditemukan mineral *Chayesite* ( $\text{Fe}_2\text{K}_2\text{Mg}_3\text{O}_{30}\text{Si}_{12}$ ) dengan kadar Fe yang cukup besar. Sedangkan pada titik kedua di bagian permukaan, mineral yang didapatkan adalah *Sodium tetrairon pentamolybdate* ( $\text{Fe}_4\text{Mo}_5\text{NaO}_{20}$ ) dengan kadar Fe yang masih besar pula.

## BAB V

### PENUTUP

#### V.1 Kesimpulan

Karakteristik dari setiap material pasir besi yaitu untuk titik pertama bagian permukaan, didapatkan kandungan fasa berupa *Magnetite* ( $\text{Fe}_3\text{O}_4$ ) sebanyak 16,3 %, dengan struktur kristal *cubic* dan (parameter kisi) atau ukuran dari kristal kubik sebesar 57,484 nm serta densitas sebesar  $5,214 \text{ gr/cm}^3$ . Sedangkan pada kedalaman 1,5 meter tidak ditemukan adanya pasir besi. Namun masih ditemukan adanya kandungan Fe berupa *Chayesite* ( $\text{Fe}_2\text{K}_2\text{Mg}_3\text{O}_{30}\text{Si}_{12}$ ) sebanyak 34,6 %, dengan struktur kristal *hexagonal* dan parameter kisi sebesar 55,946 nm serta densitas sebesar  $2,797 \text{ gr/cm}^3$ . Selanjutnya, untuk kedalaman 3 meter didapatkan kandungan pasir besi yang sama dengan sampel bagian permukaan yaitu *Magnetite* ( $\text{Fe}_3\text{O}_4$ ), namun dengan persentasi yang lebih banyak yaitu 27,5 %. Dengan struktur kristal *cubic* dan parameter kisi sebesar 56,059 nm serta densitas sebesar  $5,230 \text{ gr/cm}^3$ .

Untuk titik pengambilan sampel kedua pada bagian permukaan, juga tidak ditemukan pasir besi, namun masih terdapat kandungan Fe berupa *Sodium tetrairon pentamolybdate* ( $\text{Fe}_4\text{Mo}_5\text{NaO}_{20}$ ) sebanyak 13,1 %, dengan struktur kristal *triclinic* dan parameter kisi sebesar 44,962 nm serta densitas sebesar  $4,089 \text{ gr/cm}^3$ .

Selanjutnya untuk sampel yang berada pada kedalaman 1,5 meter ditemukan adanya pasir besi berupa *Hematite* ( $\text{Fe}_2\text{O}_3$ ) sebanyak 8,0 % dengan struktur kristal *rhombohedral* dan ukuran kristal (parameter kisi) sebesar 123,23 nm serta densitas sebesar  $5,266 \text{ gr/cm}^3$ . Sedangkan sampel yang berada pada kedalaman 3 meter juga didapatkan kandungan pasir besi serta struktur kristal yang sama dengan sampel pada kedalaman 1,5 meter yaitu *Hematite* ( $\text{Fe}_2\text{O}_3$ ) sebanyak 1,8 % dengan struktur kristal *rhombohedral* serta parameter kisi sebesar 37,409 nm serta densitas sebesar  $5,266 \text{ gr/cm}^3$ .

## V.2 Saran

Saran pada penelitian ini adalah sebagai berikut:

1. Adanya penambahan sedikit  $\text{H}_2\text{O}$  untuk menghilangkan kadar garam dan endapan unsur lain yang terdapat pada sampel.
2. Sebaiknya dilakukan pemetaan geologi sebelum melakukan penelitian.

## DAFTAR PUSTAKA

- Anwar, Muhammad. "Sintesis dan Karakterisasi Ferrofluida Berbahan Dasar Pasir Besi Peg-400 Sebagai Media Template". *Skripsi*. Surabaya: Institut Teknologi Sepuluh Nopember, 2007.
- Abdullah. "Bab II Ekstraksi Pasir Besi". (2013): h. 12. <http://digilib.unila.ac.id/872/9/BAB%20011.pdf> (Diakses 16 November 2015).
- Beiser, Arthur. *Modernt Technical Physics*. Malang: 1992.
- "BPS Bantaeng dan Gambaran Umum Wilayah Bantaeng". *Buku Putih Sanitasi*, (2013), h. 13. <http://ppsp.nawasis.info/dokumen/perencanaan/sanitasi/pokja/bp/revisi/Kab.%20Bantaeng.pdf>. (Diakses 20 November 2015).
- Bhakti, Henny Dwi, dkk. "Pengaruh ukuran Partikel  $Fe_3O_4$  dari pasir Besi Sebagai Bahan Penyerap Pada Frekuensi X-Band dan Ku-Band". *Fisika*, (2010): h. 35. <http://digilib.its.ac.id/public/ITS-paper-29967-1109100038-paper.pdf> (Diakses 1 Februari 2016).
- Depertemen Agama R.I. *Al-Qur'an Al-Karim dan Terjemahnya*. Surabaya: Halim. 2013.
- Dr. Abdullah. *Tafsir Ibnu Katsir Jilid 2*. Jakarta: Pustaka Imim Syafi'i, 2013.
- Fery M. "Lambung Pustaka UNY" *Artikel*, (2012), h. 13-53. <http://eprints.uny.ac.id/8160/3/bab%20%20-%20%2008306141017.pdf> (Diakses 3 Februari 2016).
- Hidayati. "Penentuan Struktur Oksida Uranium". *PPNY-BATAN Yogyakarta*, (1995): h. 8. <http://www.iaea.org/inis/collection/NCLCollectionStore/Punlic/33/023/33023315.pdf>. (Diakses 3 Februari 2016).
- Hadi, Arif Ismul, dkk., "Penentuan Struktur Kristal  $AlMg_2$  Alloy dengan Difraksi Neutron", *Berkala fisika* 14, no.2 (2011): h.43.
- Jusnita. "Metalurgi Fisik" *Artikel Penelitian Mineral*, (2014): h. 1. <http://www.slideshare.net/jusnita/pert-1-html>. (Diakses 23 Agustus 2016).
- Kittel, Charles. *Intruduction to Solid State Phy sics*. USA: John Wiley & Sons, 1976.

- Kittel, Charles. *Intruduction to Solid State Physics 6th*. USA: John Wiley & Sons, 1991.
- Kartika, Dewi Linda. Dkk. “Sintesis dan Karakterisasi Partikel Nano  $Fe_3O_4$  yang Berasal dari Pasir Besi dan  $Fe_3O_4$  Bahan Komersial (Aldrich)”. *Sains dan Seni Pomits* 3 no.2 (2010): h. 1-33.
- Moe'tamar. “Eksplorasi Umum Pasir Besi di Daerah Kabupaten Jeneponto” *Artikel Penelitian Mineral*, (2008): h. 1. [http:// www.bantaengkab.go.id/web/statis/-1-profil.html](http://www.bantaengkab.go.id/web/statis/-1-profil.html). (Diakses 26 November 2015).
- Nurmawati, Melly. “Analisis Derajat Kristalinitas, Ukuran Kristal dan Bentuk Partikel Mineral Tulang Manusia Berdasarkan Variasi Umur dan Jenis Tulang”. *Skripsi*. Institut Pertanian Bogor, 2007.
- Ratnasari, Dina., dkk. 2009. “X-Ray Diffraction (XRD)”. *Tugas Kimia Fisika*. (2009): h. 2-3. [http:// kimia.ft.uns.ac.id/ file/ kuliah/ kimia%20Fisika/.../XRD%20III.pdf](http://kimia.ft.uns.ac.id/file/kuliah/kimia%20Fisika/.../XRD%20III.pdf) (diakses 26 November 2015).
- Suwitra, Nyoman. *Pengantar Fisika Zat Padat*. Jakarta: P2LPTK, 1989.
- Shihap, M Quraish. *Tafsir Al-Misbah*. Jakarta: Lentera Hati, 2002.
- Sania., dkk. 2014. “Karakteristik dan Kandungan Mineral Pasir Pantai Lhok Mee, Beureunut dan Leungah, Kabupaten Aceh Besar”. *Material* 3, no. 263-270. (2014): h. 268.
- Septiyan, Irfan. “Pengaruh Milling Terhadap Kualitas Pasir Besi Sebagai Bahan Baku Industri Logam”. *Skripsi*, Jakarta: UIN Syarif Hidayatuulah Jakarta, 2010.
- “Struktur Kristal”. *Artikel*, h. 1. [http://file.upi.edu/ Direktori/ FPMIPA/ JUR.\\_PEND.\\_FISIKA/195708071982112WIENDARTUN/1.Struktur\\_Kristal\\_\(hand\\_out\).pdf](http://file.upi.edu/Direktori/FPMIPA/JUR._PEND._FISIKA/195708071982112WIENDARTUN/1.Struktur_Kristal_(hand_out).pdf) (Diaksese 23 Agustus 2016).
- Wahab. “Besi dan Baja”. *Artikel Material*, (2011): h. 1-3. Wahabxxxxx. Wordpress.com (Diakses 24 Oktober 2015).
- Wicaksono, Herman Sandy. “Analisis Ukuran Partikel Campuran (Pasir Besi, Batu Bara CaO) dan Lama Penyinaran Gelombang Mikro Pada Reduksi Besi Oksida”. *Teknik Material dan Metalurgi*, (2011): h. 2.

## RIWAYAT HIDUP



Nurhidayah atau sering dipanggil “NUR” lahir di Kab. Sinjai pada tanggal 6 April 1995. Merupakan anak kedua dari dua orang bersaudara, anak dari buah kasih cinta oleh kedua orang tua yang bernama Abd. Asis dan Hartati. Pendidikan formal dimulai dari

sekolah dasar pada tahun 2000 dan lulus pada tahun 2006. Pada tahun yang sama penulis melanjutkan pendidikan di Sekolah Menengah Pertama (SMPN 5 Sinjai-Selatan) dan lulus pada tahun 2009, dan pada tahun yang sama pula penulis melanjutkan lagi pendidikannya di Sekolah Menengah Atas (SMAN 1 Tellulimpoe) dan lulus pada tahun 2012. Penulis Kemudian melanjutkan pendidikan ke perguruan tinggi di “Universitas Islam Negeri (UIN) Alauddin Makassar sampai dengan sekarang. Sampai dengan penulisan skripsi ini penulis masih terdaftar sebagai mahasiswa program S1 Fisika Fakultas Sains dan Teknologi. Penulis berharap bahwa, semoga jurusan fisika ini nantinya dapat membawa penulis menuju tangga kesuksesan dan dapat menjadi tenaga praktisi dan peneliti dalam bidang ilmu fisika yang terintegrasi dengan ilmu-ilmu keislaman, seperti misi dari fisika. Amiiin....